



UNIVERSITÀ
DEGLI STUDI
FIRENZE



L'aerosol atmosferico a Lampedusa: composizione chimica, sorgenti e processi di deposizione

Silvia Becagli
Dipartimento di Chimica «Ugo Schiff»

25 ANNI DELL'OSSERVATORIO CLIMATICO ENEA DI LAMPEDUSA
Ricerca scientifica e contributo allo sviluppo sostenibile sul territorio

Roma, 6 dicembre 2022

Il tutto iniziò nel 2004....





- ✓ Giu. 04 – Dic. 06: PM_{10} - $\text{PM}_{2.5}$ - PM_1 in modo alternato
- ✓ Gen. 2007- oggi: PM_{10}
- ✓ Gen. 2011- Nov. 2016: campionamento PM_{10} teflon/quarzo in parallelo
- ✓ Nov. 2016 ad oggi PM_{10} e PTS in parallelo

Raccolta dei campioni PTS e PM₁₀

da Marzo 2015.....

Raccolta dei campioni deposizioni



Analisi chimica

ICP AES

s.b. HNO_3 – H_2O_2

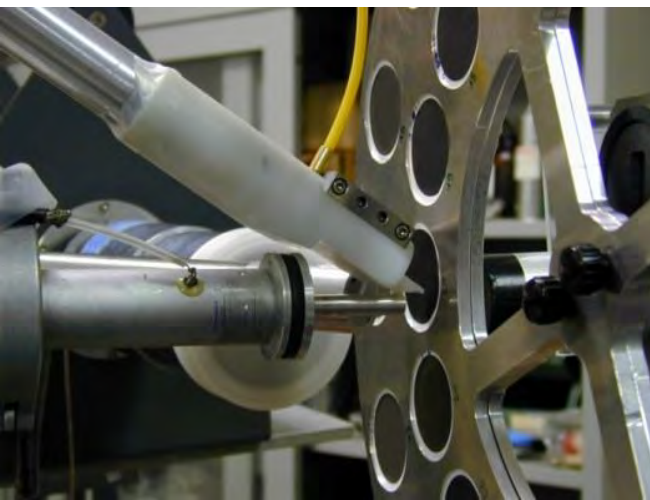
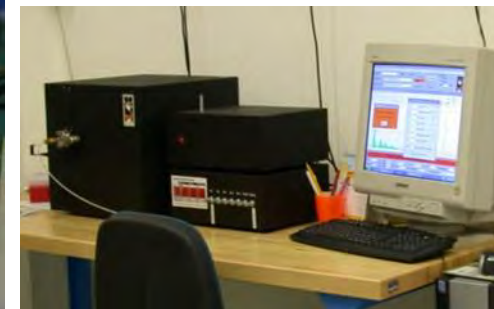
Metals, La, Ce



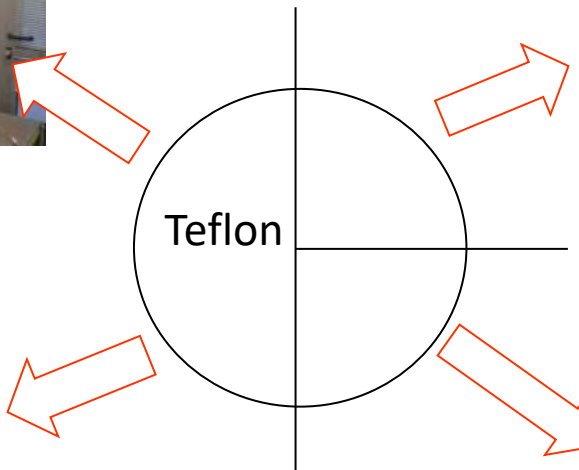
PIXE: elements total content



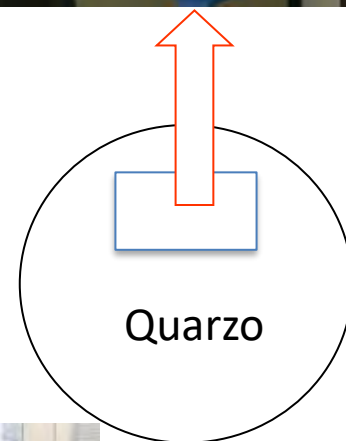
Analizzatore Termo-ottico:
EC/OC



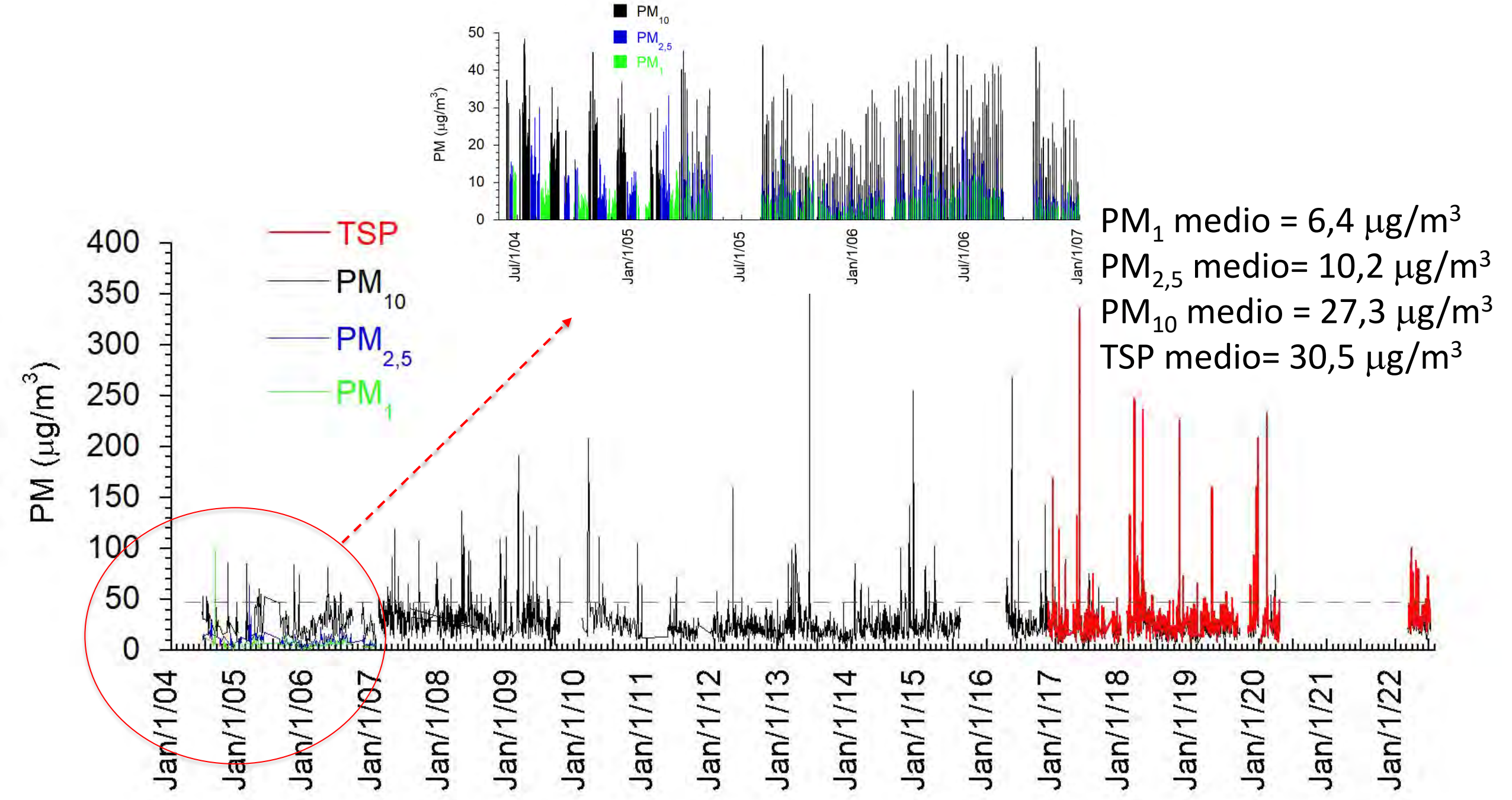
ICP AES
Metals



Ions Chromatography
 Na^+ , NH_4^+ , K^+ , Mg^{2+} , Ca^{2+} ,
 Cl^- , NO_3^- , SO_4^{2-} , MSA, Ac,
For, Gly, Ox



Quarzo



PM ($\mu\text{g}/\text{m}^3$)

Els Torms 19
Monagrega 17 17 MSY
Zarra 16
Víznar 21 Censt1 15

Lazaropole

24

Fontechiari

15

Rojen peak 15

26 $\text{PM}_{2.5-10}$

10 $\text{PM}_{2.5}$

30

LMP

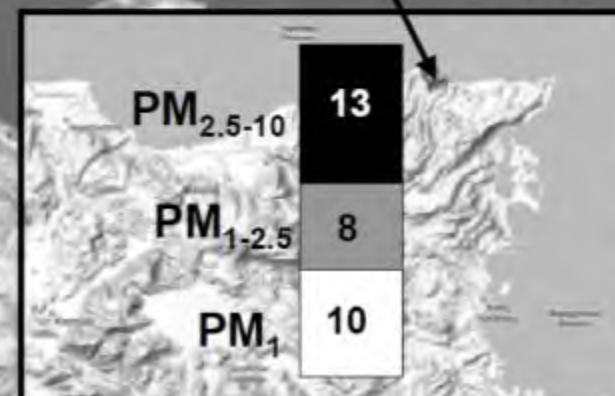
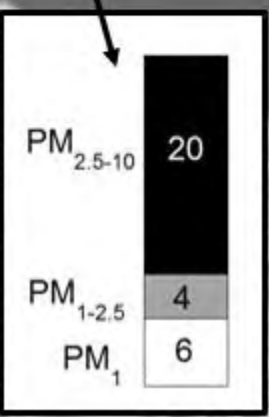
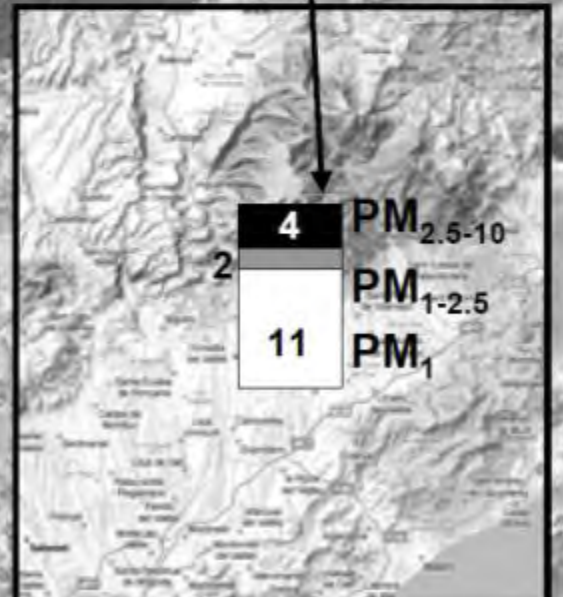
31

FKL

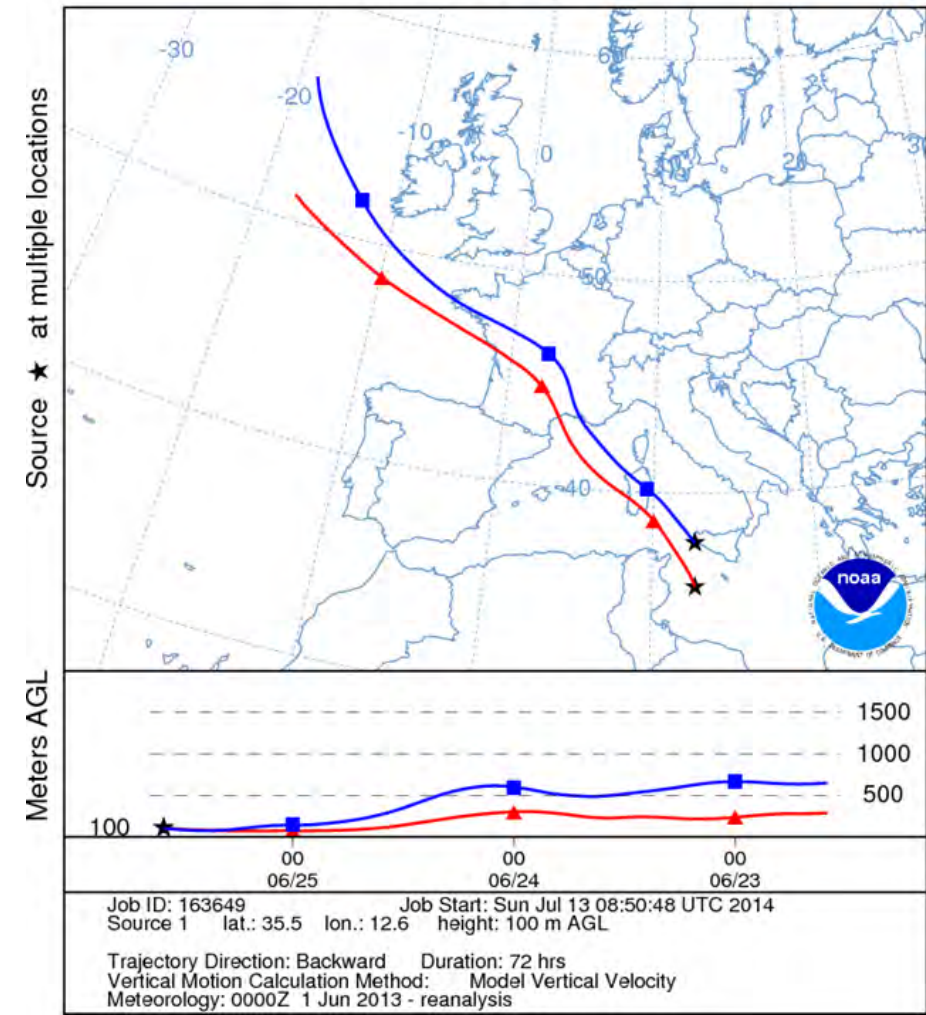
30

Ayia Marina

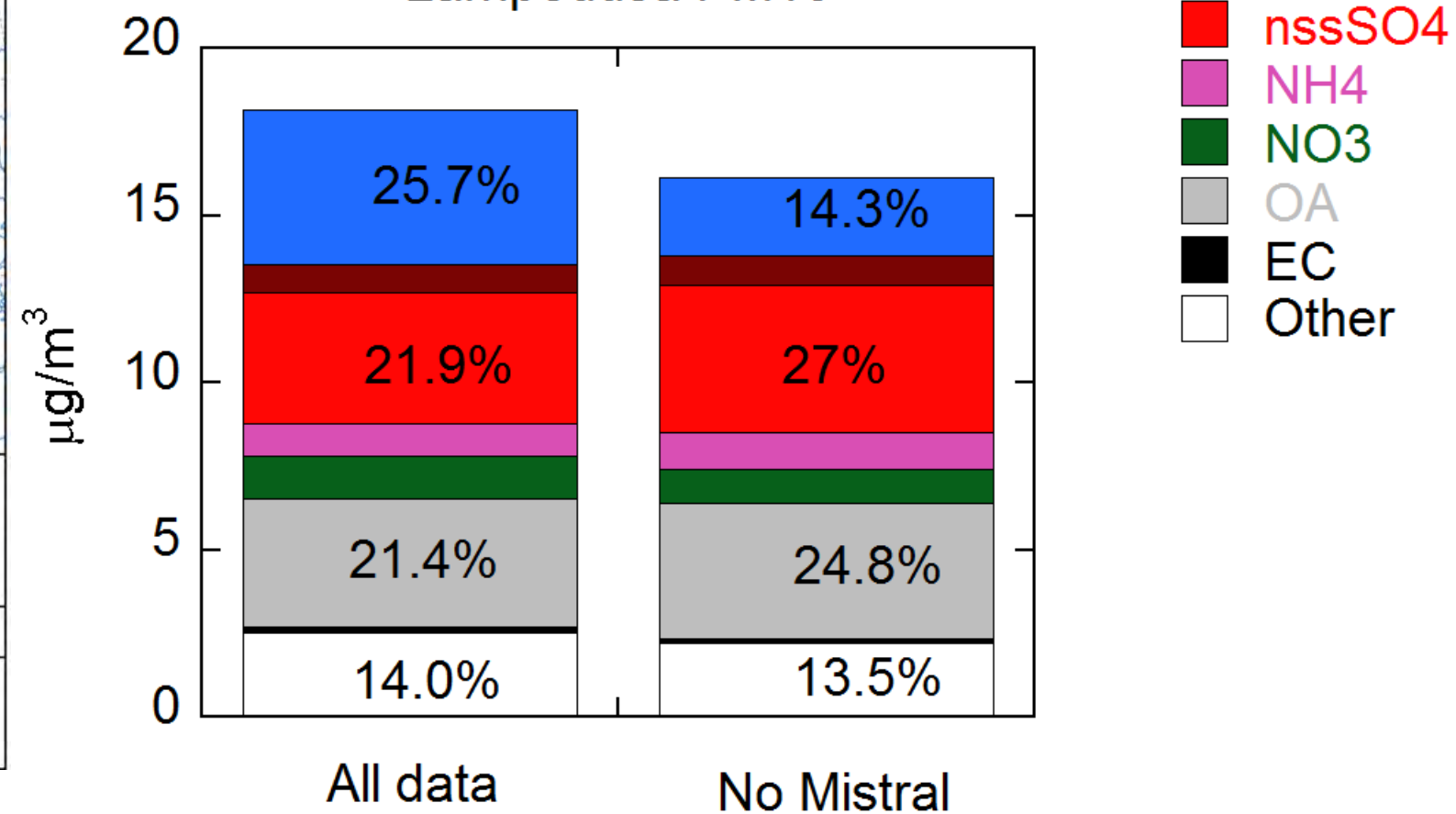
PM₁₀ ($\mu\text{g}/\text{m}^3$)

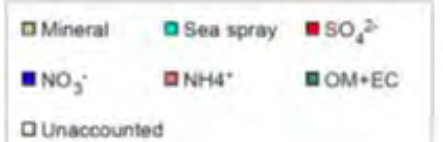


NOAA HYSPLIT MODEL
Backward trajectories ending at 1400 UTC 25 Jun 13
CDC1 Meteorological Data



Lampedusa PM10



Churchill P.S.⁵

PM10

Birkenes⁴

PM10

Melpitz¹

PM10

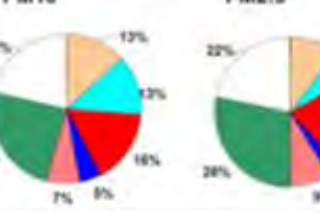
PM2.5

PM1

Bemantes⁶

PM10

PM2.5

Monagrega⁸

PM10

Calcolo del contributo dell'aerosol crostale

1- Dal PM₁₀

sottraendo il background regionale (Escudero et al., 2007) 30° (o 40°) percentile del PM₁₀. Metodo accettato dalla Commissione Europea attraverso la Direttiva 2008/50/EC sulla qualità dell'aria.

2- Calcolo mediante somma degli ossidi

$$[\text{Aerosol crostale}] = 2.14 * \text{Si} + 1.89 * \text{Al} + 1.43 * \text{Fe} + 1.40 * \text{Ca} + 1.35 * \text{nssNa} + 1.66 * \text{nssMg} + 1.21 * \text{nssK} + 1.67 * \text{Ti}$$

$$\text{ssNa} = \text{Na} - \text{nssNa}$$

$$(\text{Na/Ca})_{\text{crust}} = 0.59 \text{ w/w}$$

$$\text{nssNa} = 7.5\%$$

$$\text{nssNa} = \text{nssCa} \cdot (\text{Na/Ca})_{\text{crust}}$$

$$(\text{Ca/Na})_{\text{sw}} = 0.038 \text{ w/w}$$

$$\text{nssCa} = 80.9\%$$

$$\text{nssCa} = \text{Ca} - \text{ssCa} = \text{Ca} - \text{ssNa} \quad (\text{Ca/Na})_{\text{sw}}$$

$$(\text{Mg/Na})_{\text{sw}} = 0.129 \text{ w/w}$$

$$\text{nssMg} = 15.1\%$$

$$\text{nssMg} = \text{Mg} - \text{ssMg} = \text{Mg} - \text{ssNa} \quad (\text{Mg/Na})_{\text{sw}}$$

$$(\text{K/Na})_{\text{sw}} = 0.036 \text{ w/w}$$

$$\text{nssK} = 39.6\%$$

$$\text{nssK} = \text{K} - \text{ssK} = \text{K} - \text{ssNa} \quad (\text{K/Na})_{\text{sw}}$$

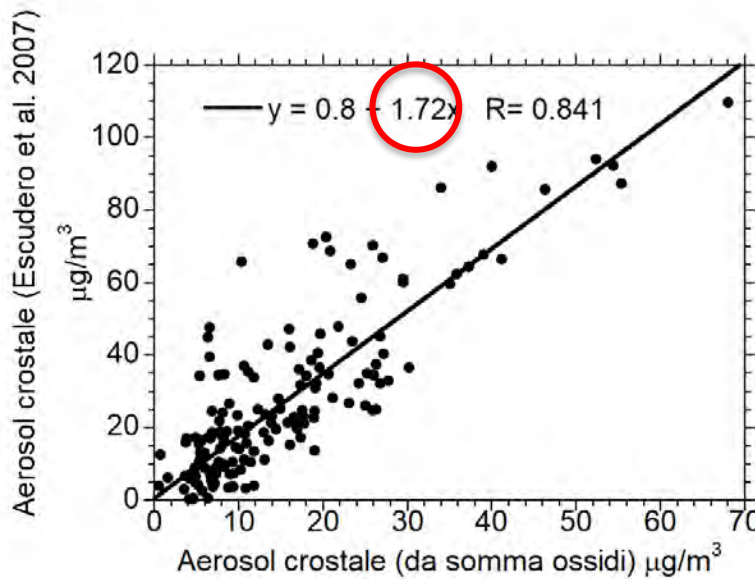
3- Calcolo con singolo tracciante

3A- Al : 8.2% UCC e considerando il recupero Al ottenuto da procedura EN 14902 (2005) , per LMP 68.5%

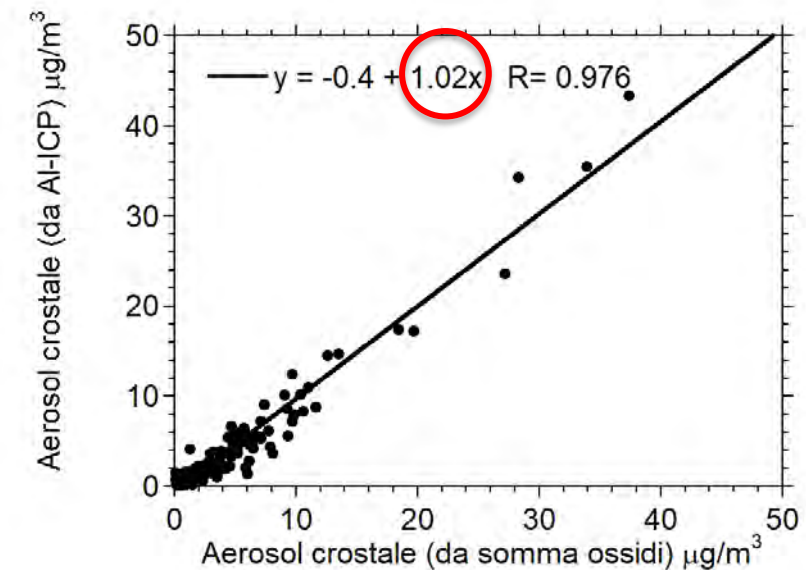
3B- Ca : Aerosol crostale = 11 * nssCa (Ca determinato con IC) (Marconi et al., 2014)

Confronto fra i vari metodi misure al suolo

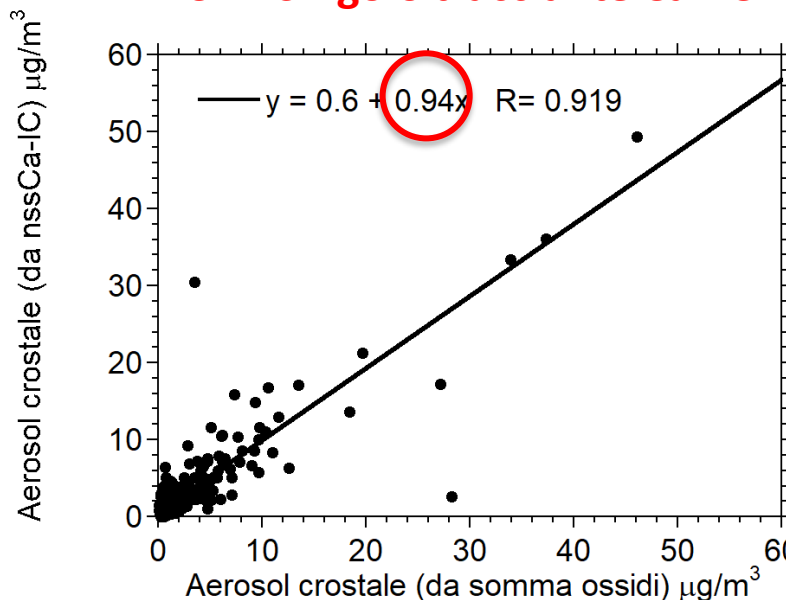
1- Dalla massa del PM₁₀, Escudero et al., 2007



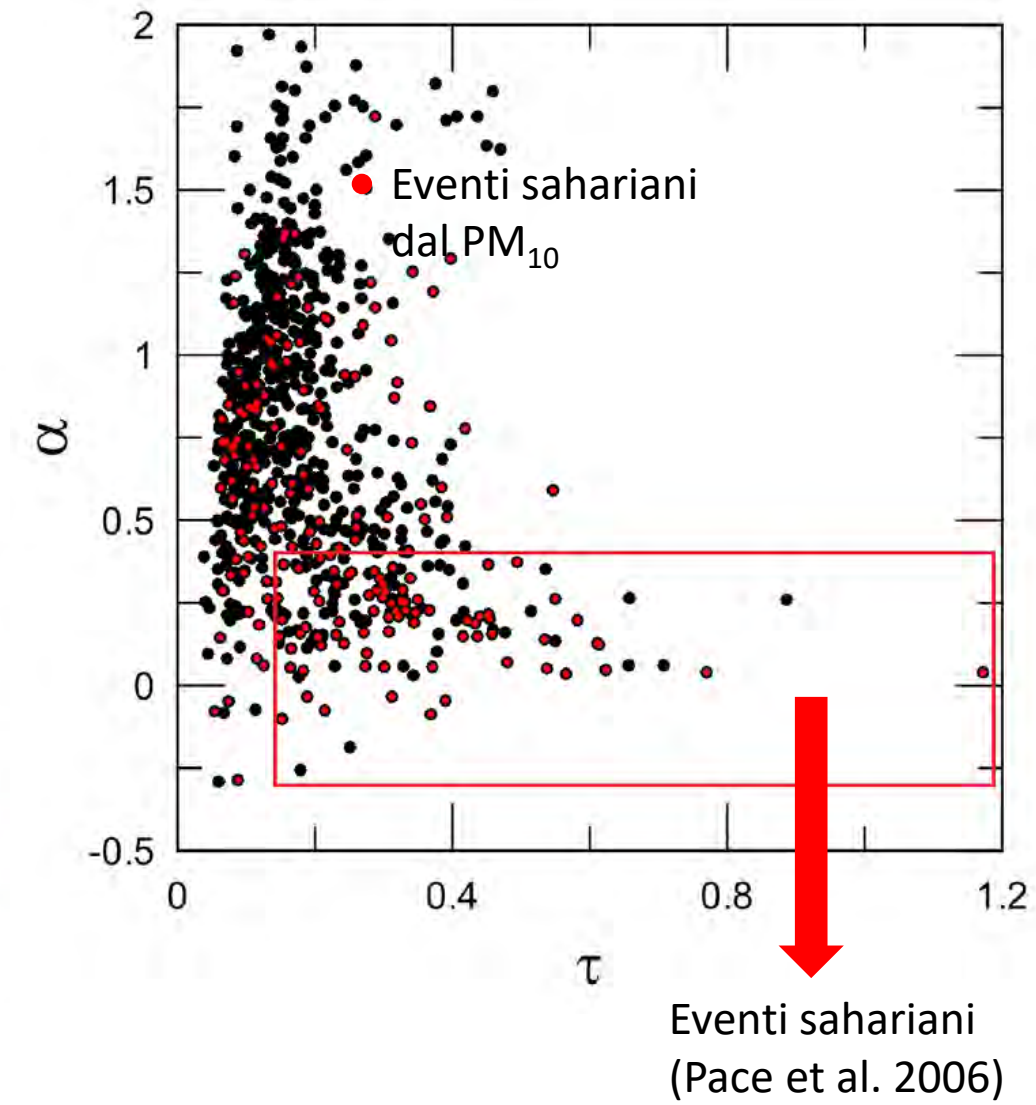
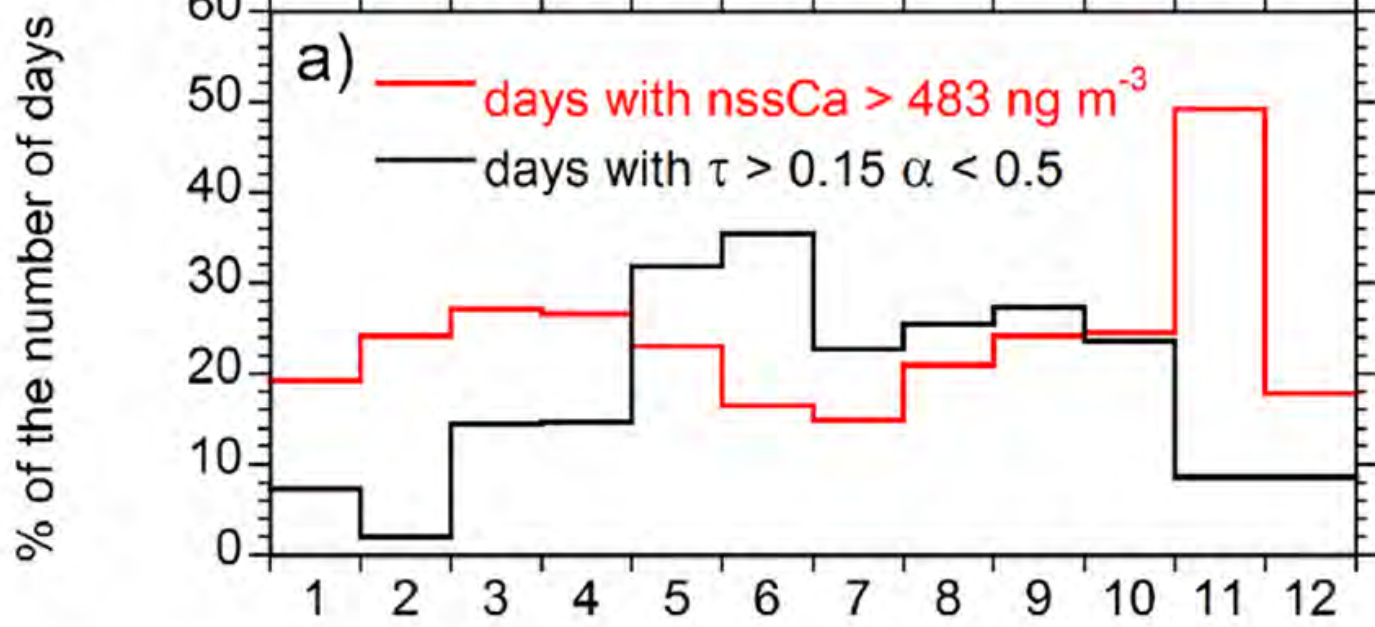
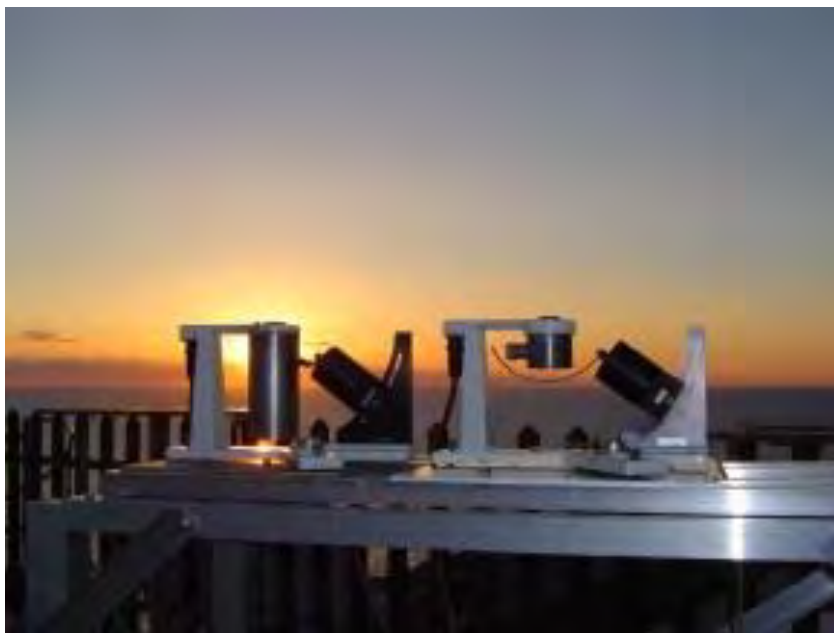
3A - Singolo tracciante Al- ICP-AES



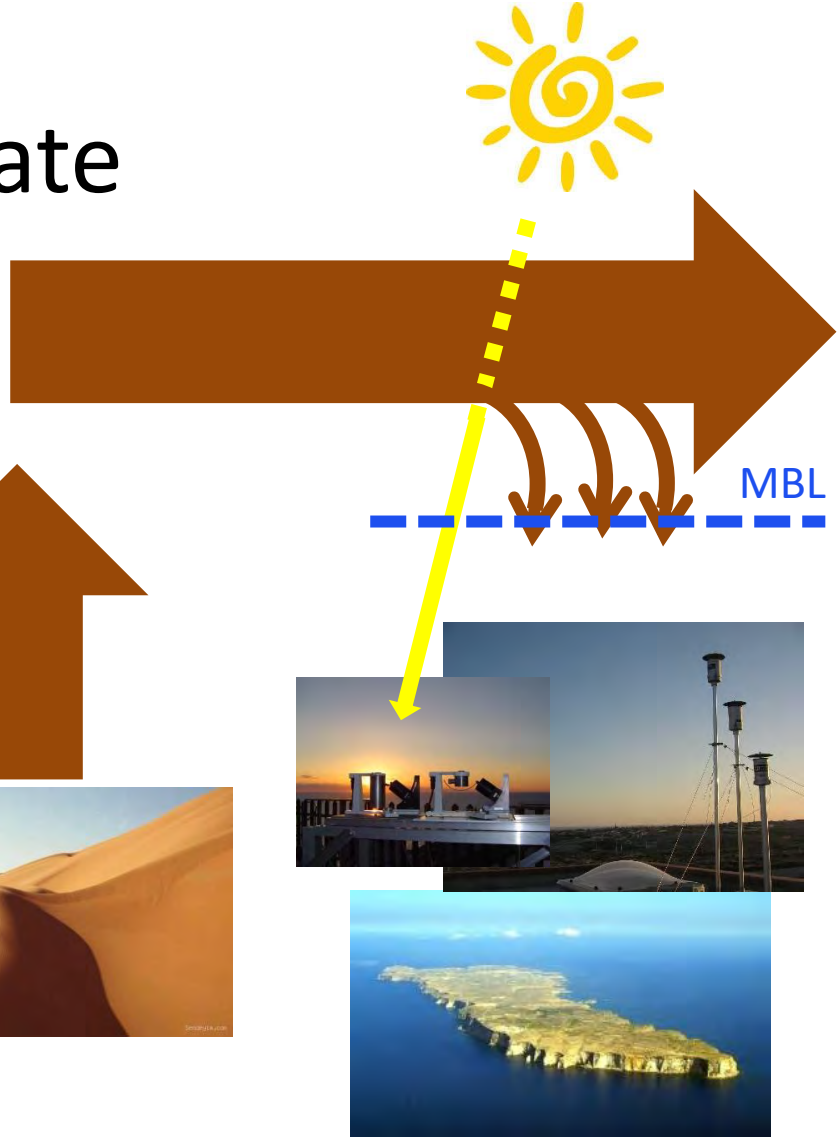
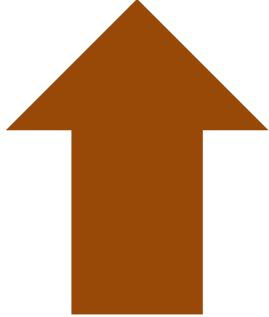
3B - Singolo tracciante Ca- IC



Identificazione eventi Saharan dust da misure ottiche colonnari

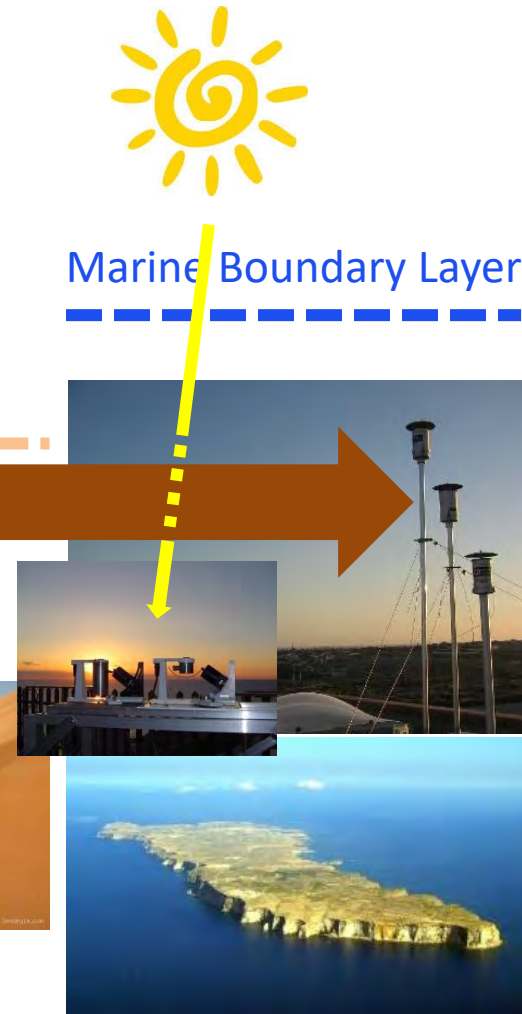


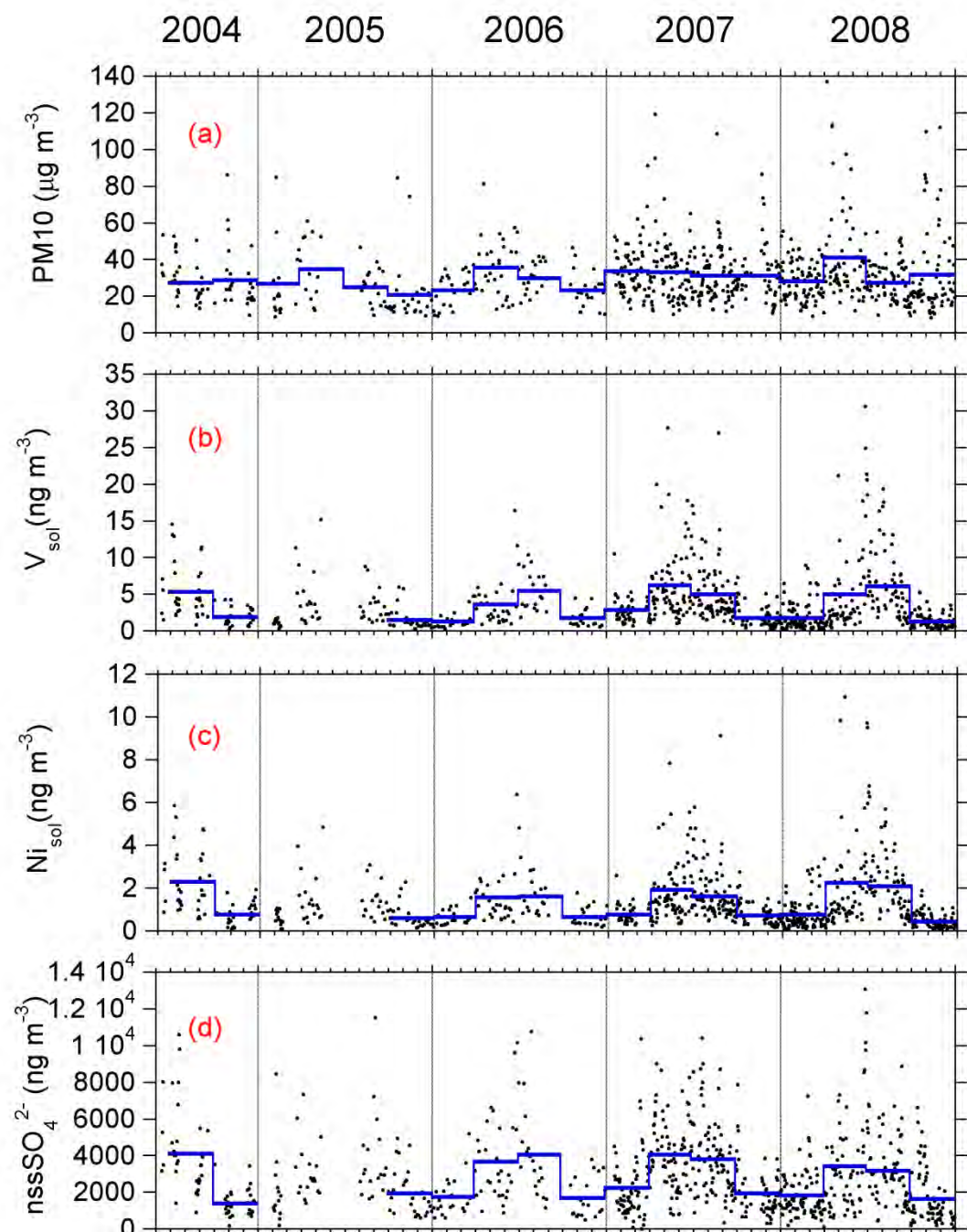
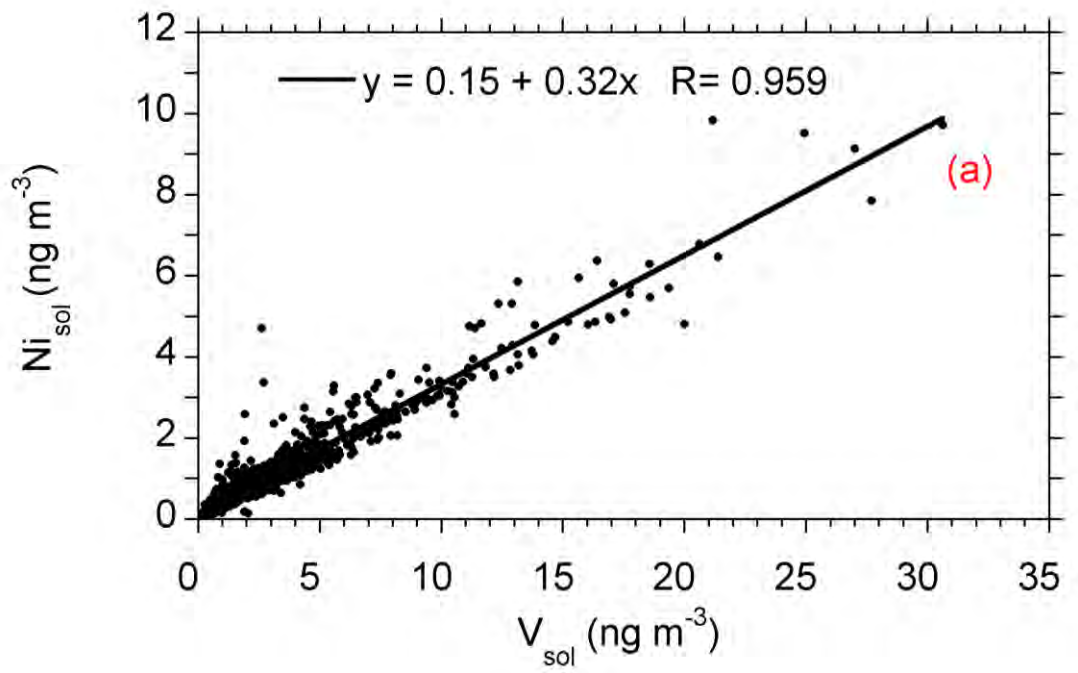
Estate

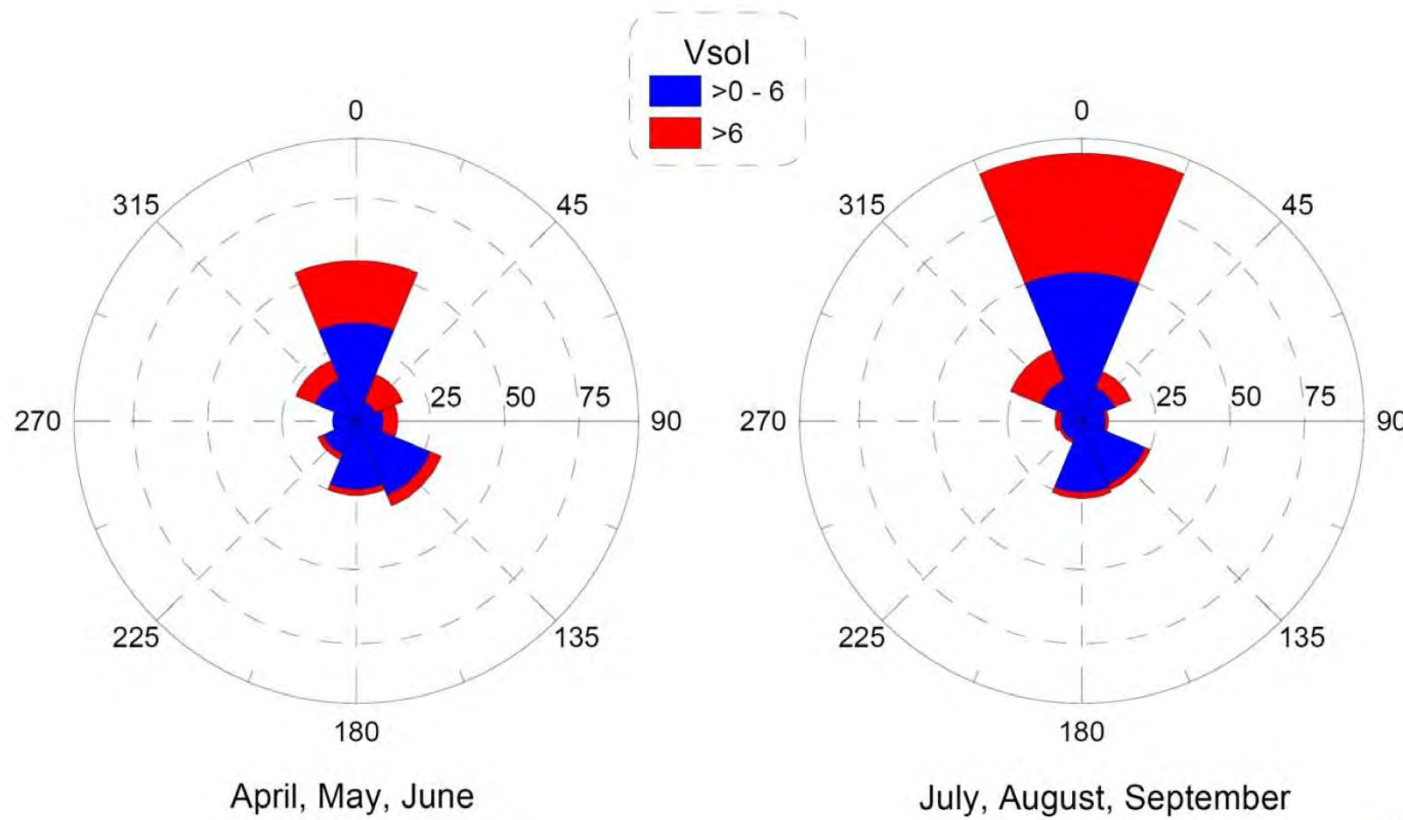


Inverno

Boundary Layer
over land



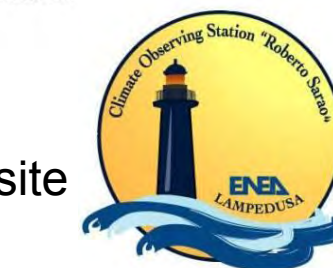




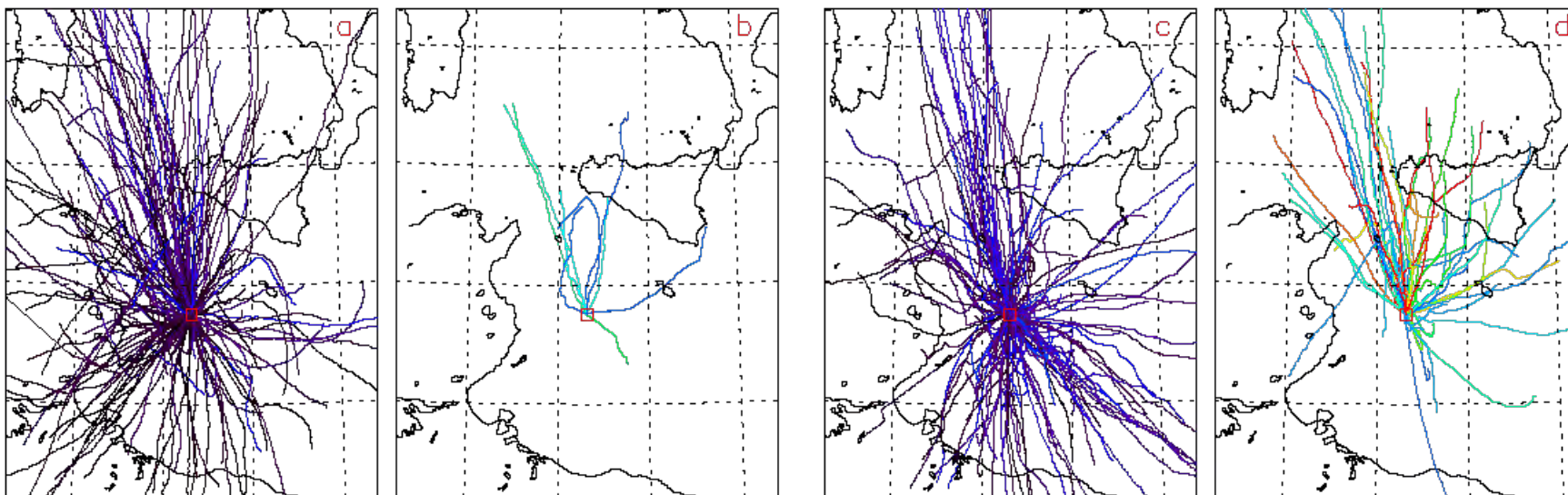
Anthropic activities



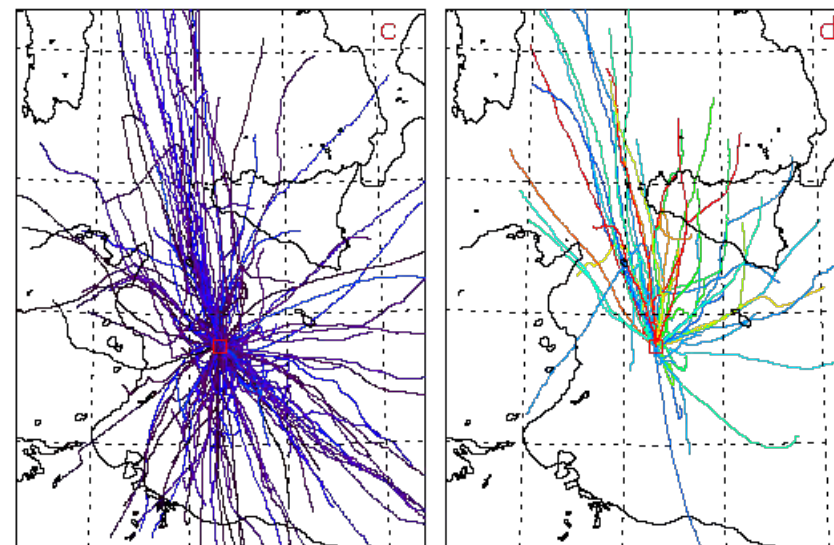
Sampling site



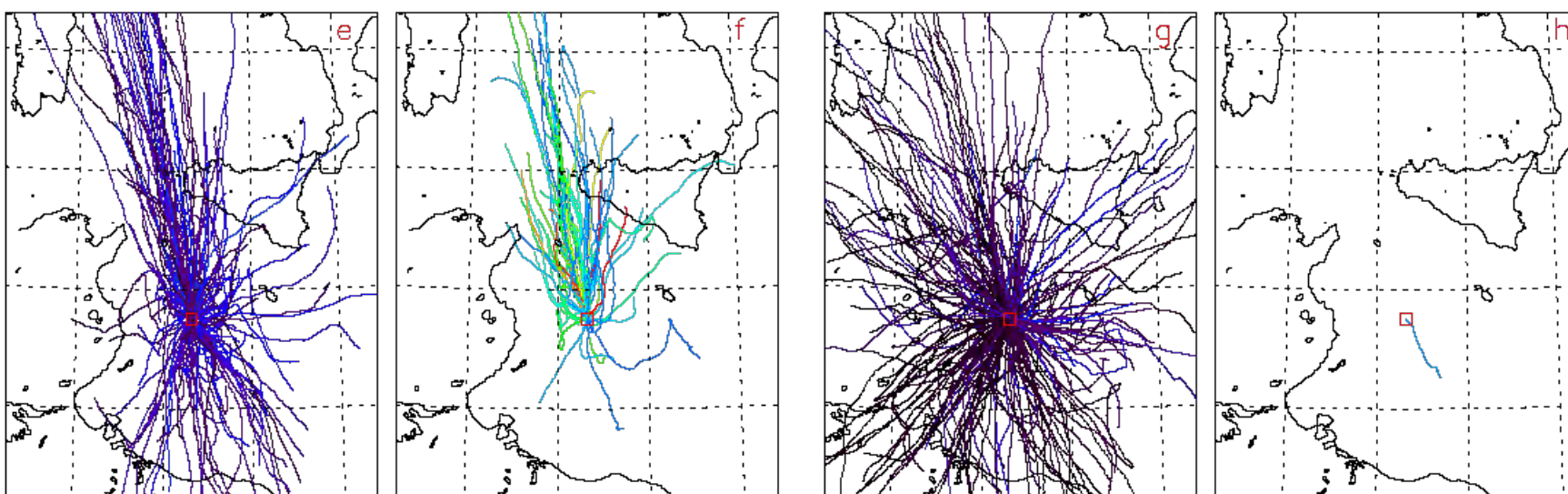
N



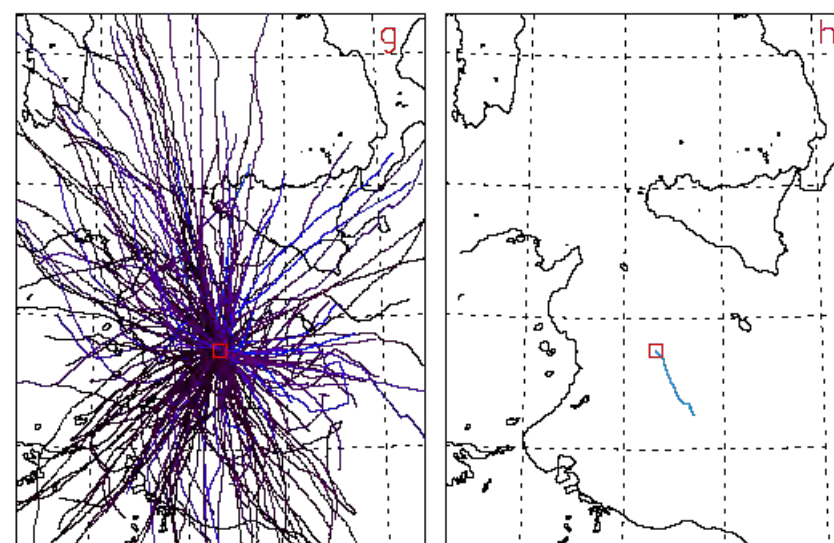
Jan., Feb., Mar.



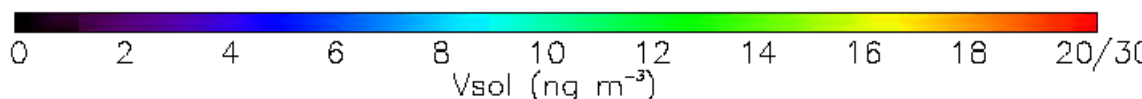
Apr., May, Jun.

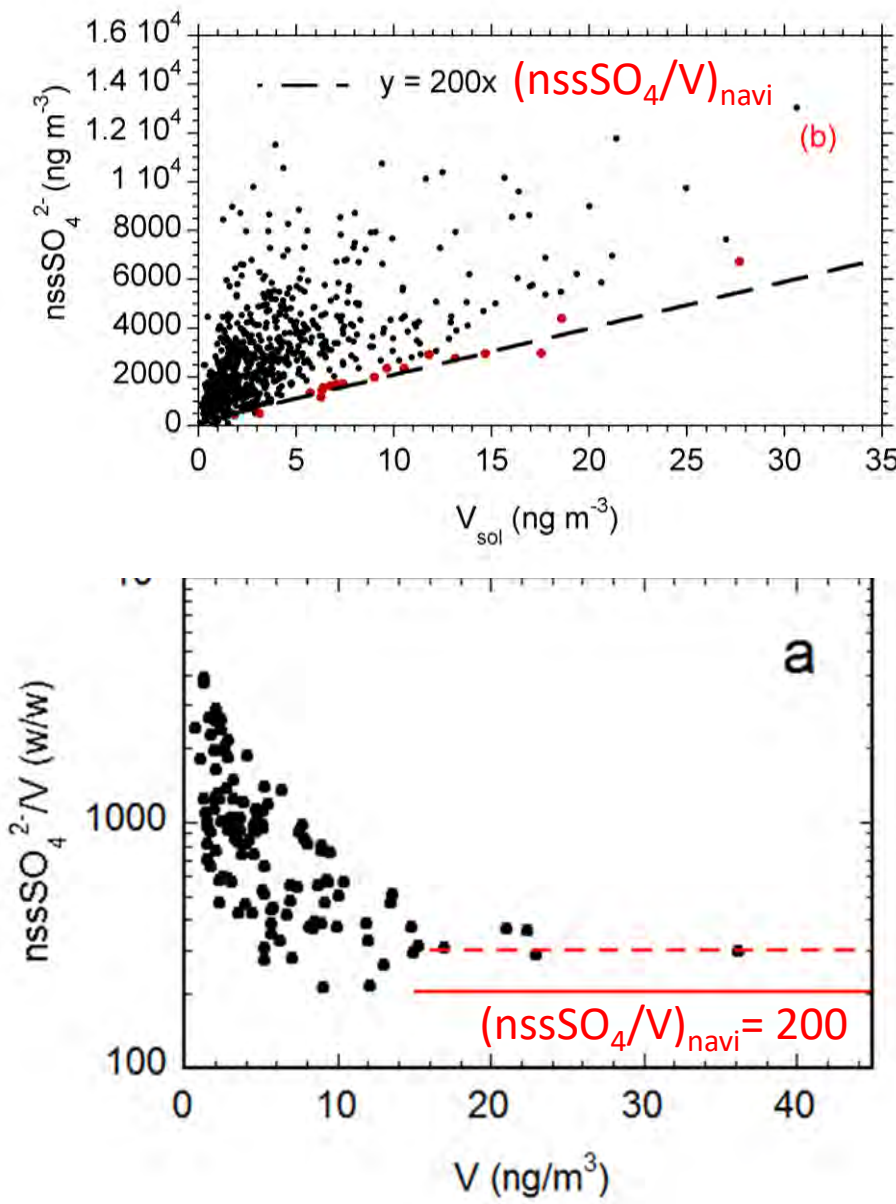


Jul., Aug., Sep.



Oct., Nov., Dec.

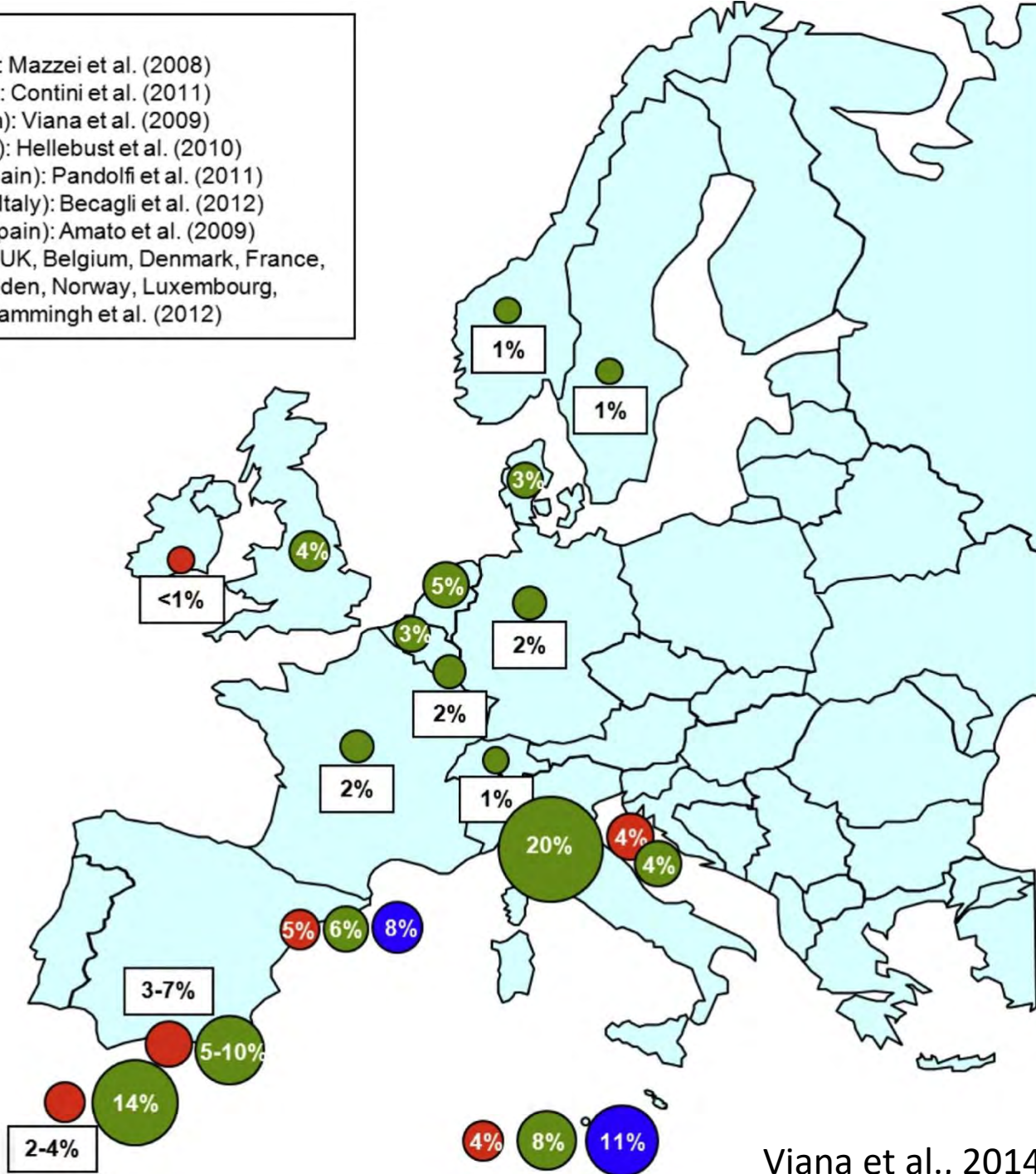




References:

- Genoa (Italy): Mazzei et al. (2008)
- Venice (Italy): Contini et al. (2011)
- Melilla (Spain): Viana et al. (2009)
- Cork (Ireland): Hellebust et al. (2010)
- Algeciras (Spain): Pandolfi et al. (2011)
- Lampedusa (Italy): Becagli et al. (2012)
- Barcelona (Spain): Amato et al. (2009)
- Netherlands, UK, Belgium, Denmark, France, Germany, Sweden, Norway, Luxembourg, Switzerland: Hammingh et al. (2012)

- PM₁₀
- PM_{2.5}
- PM₁





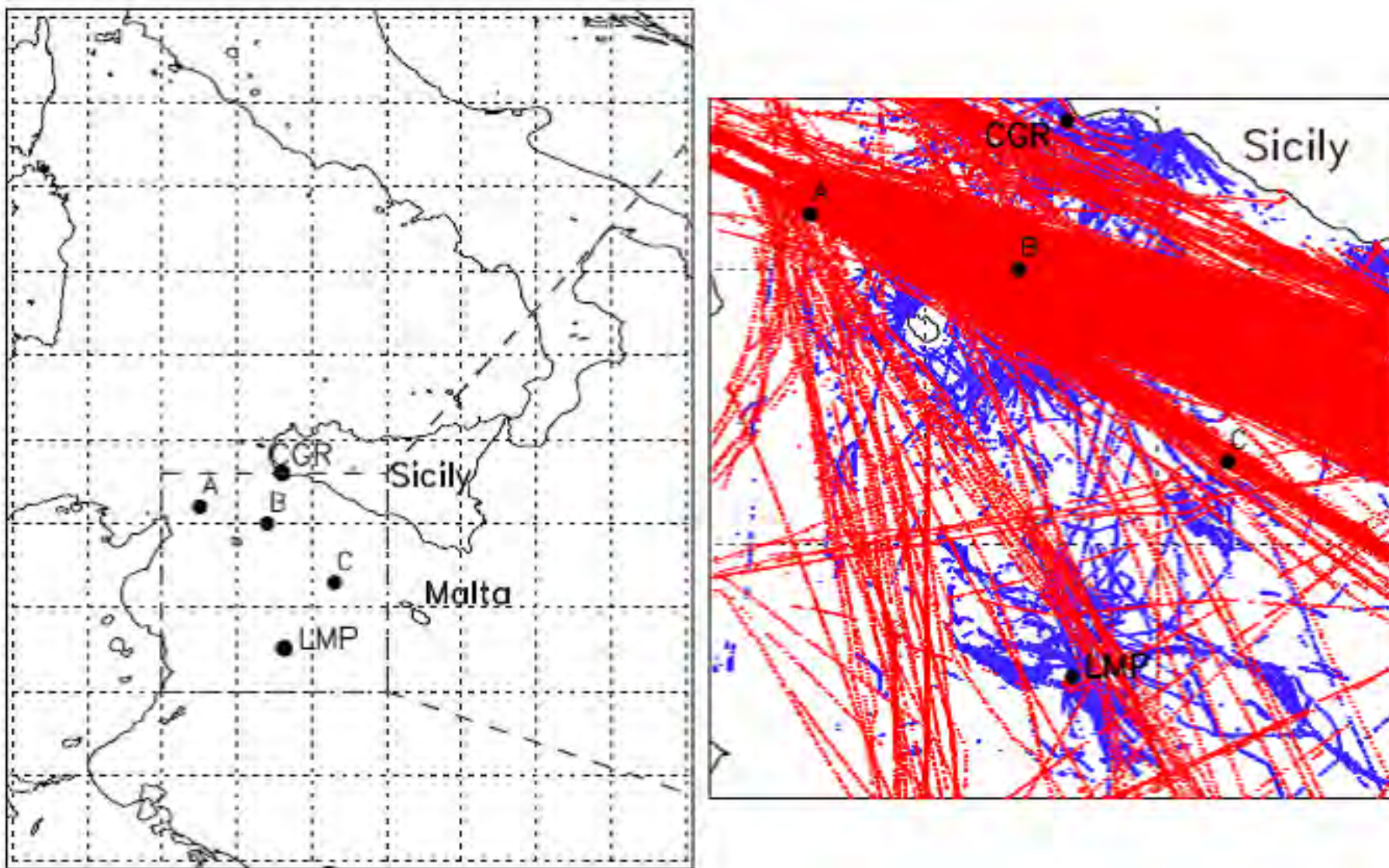
June-July 2013

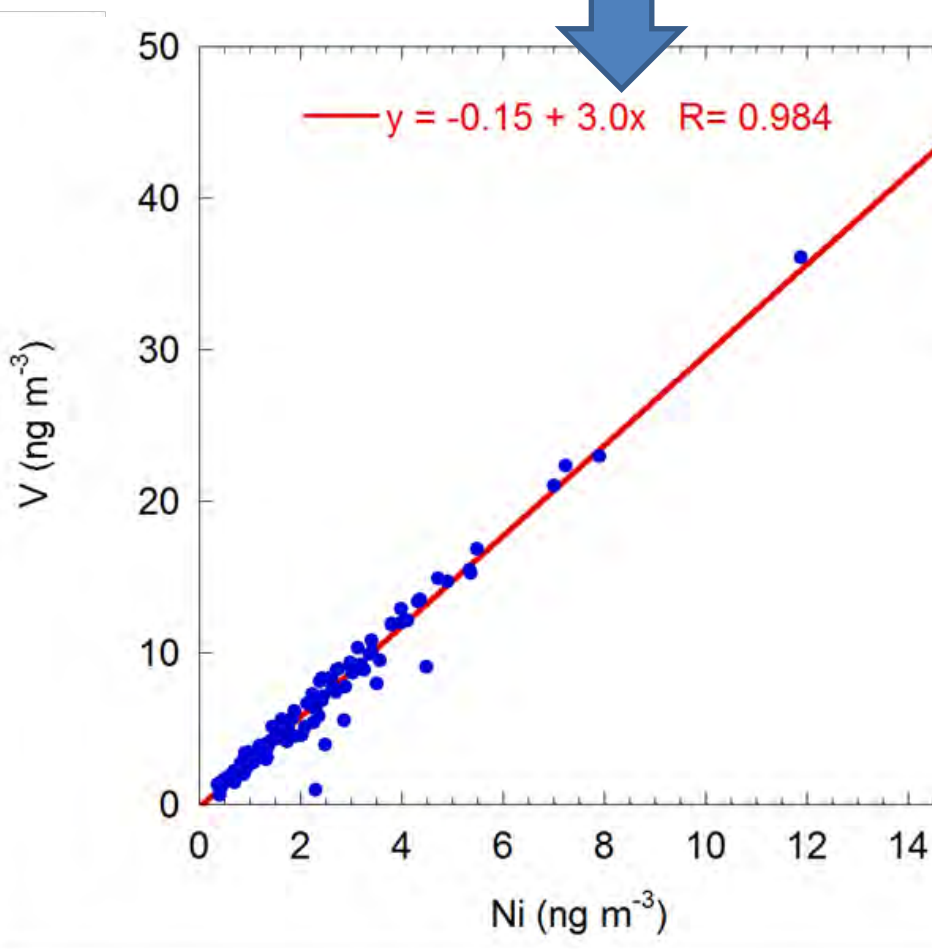
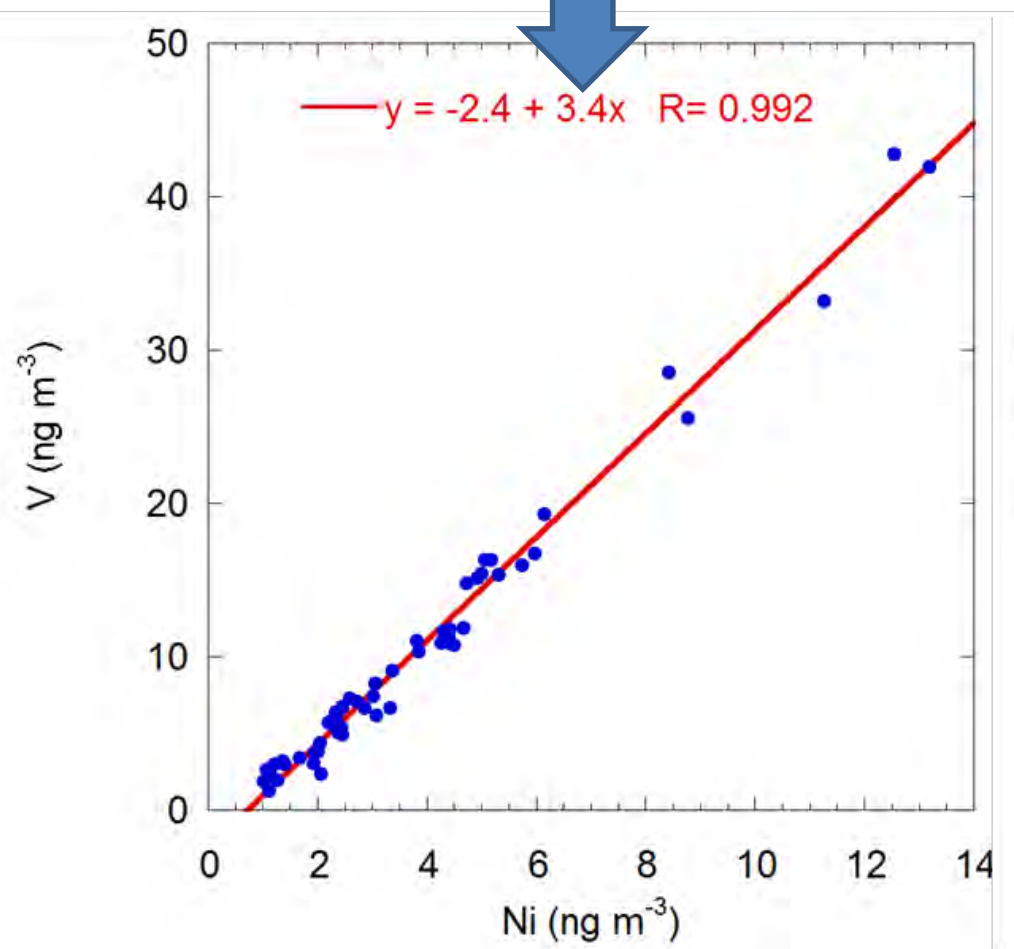
Capo Granitola

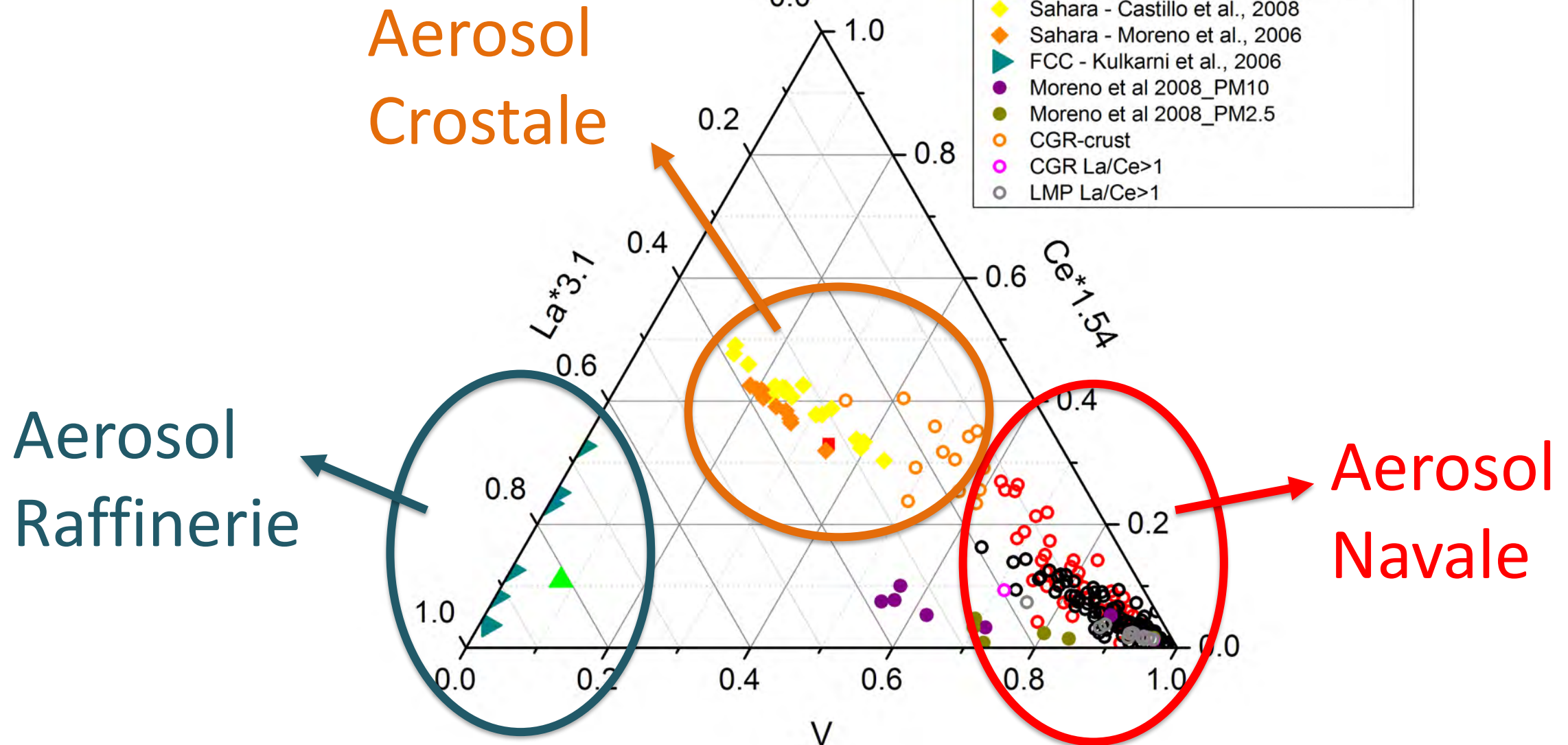


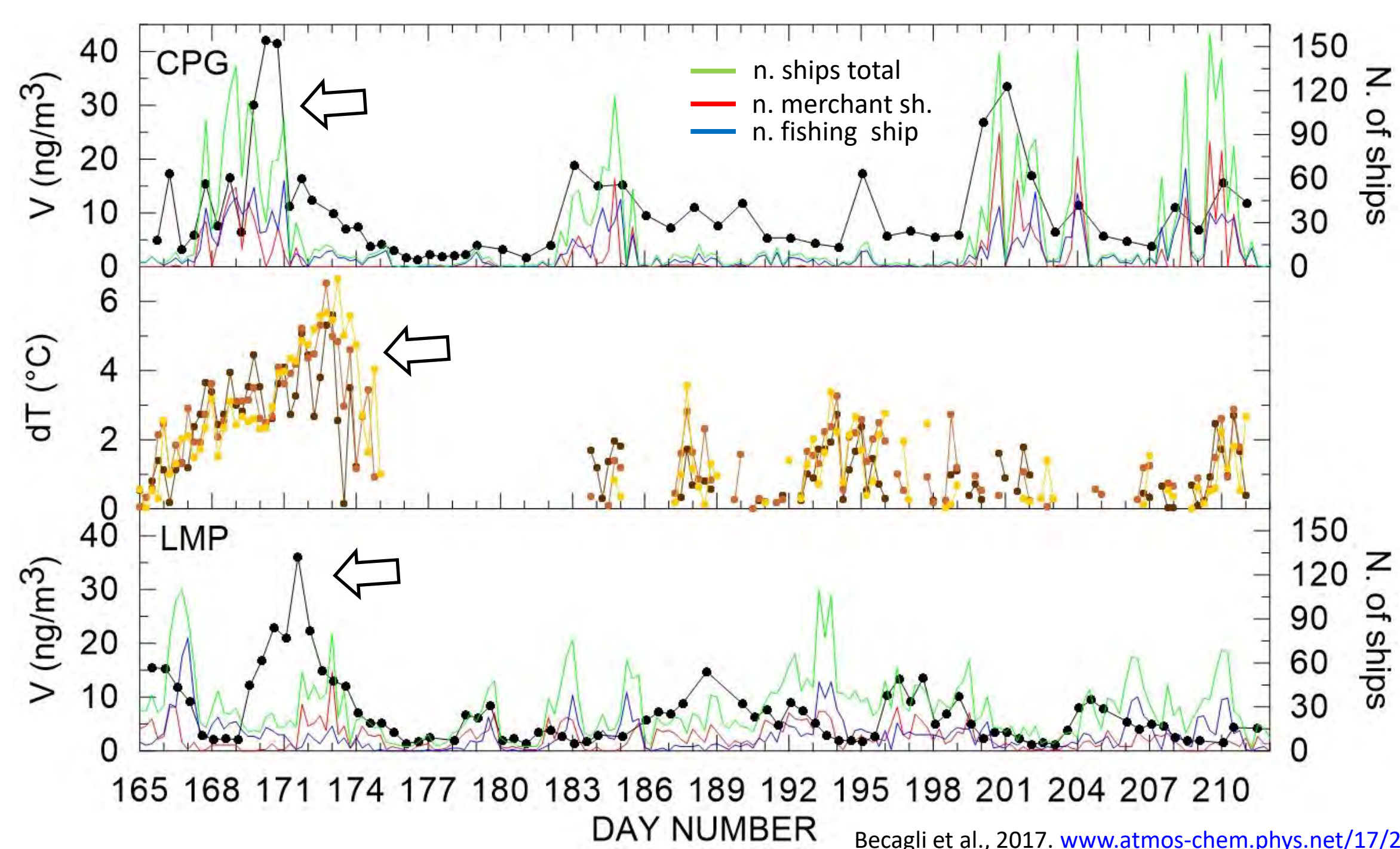
Lampedusa

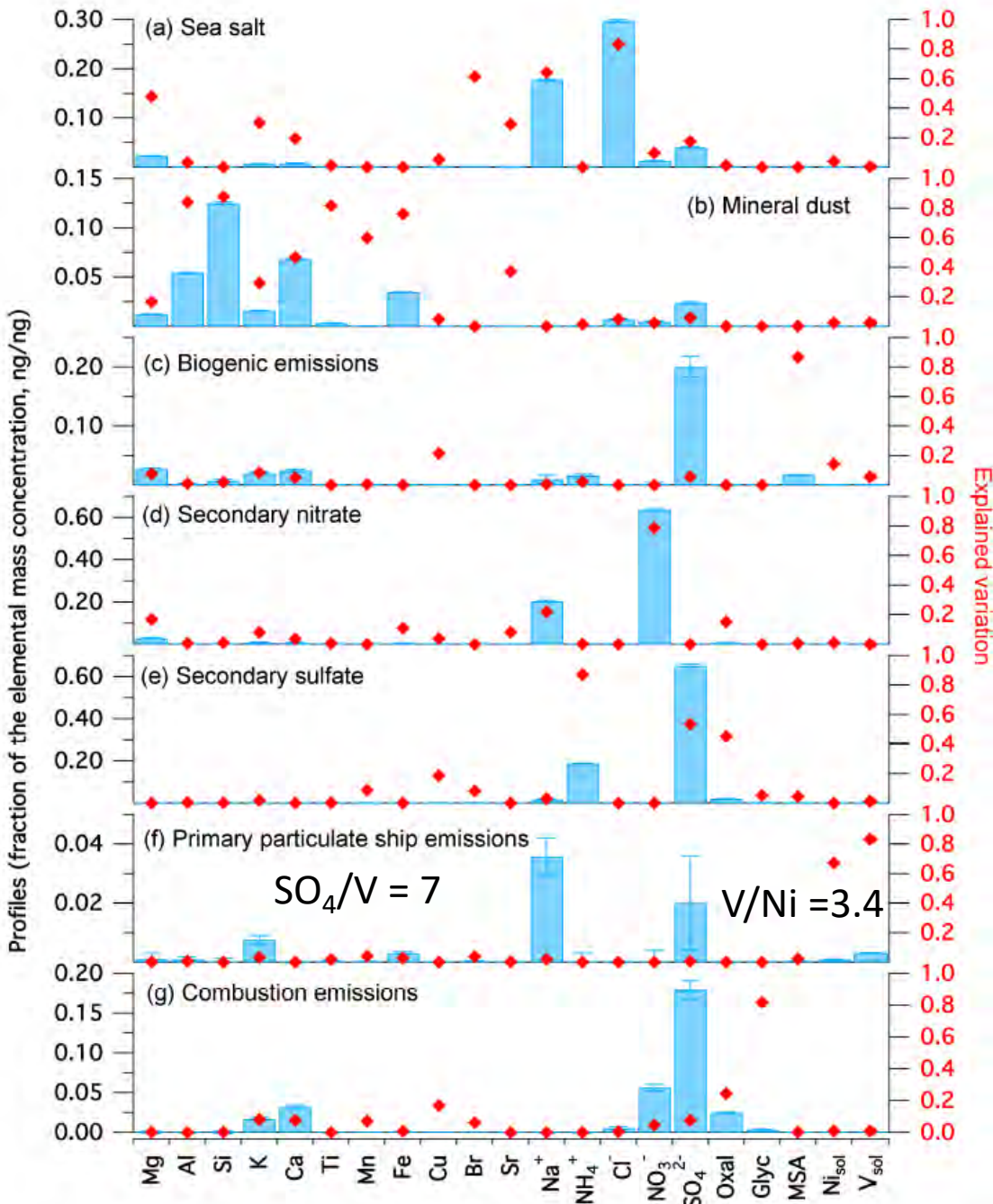












Part of the ship source is whithin this factor

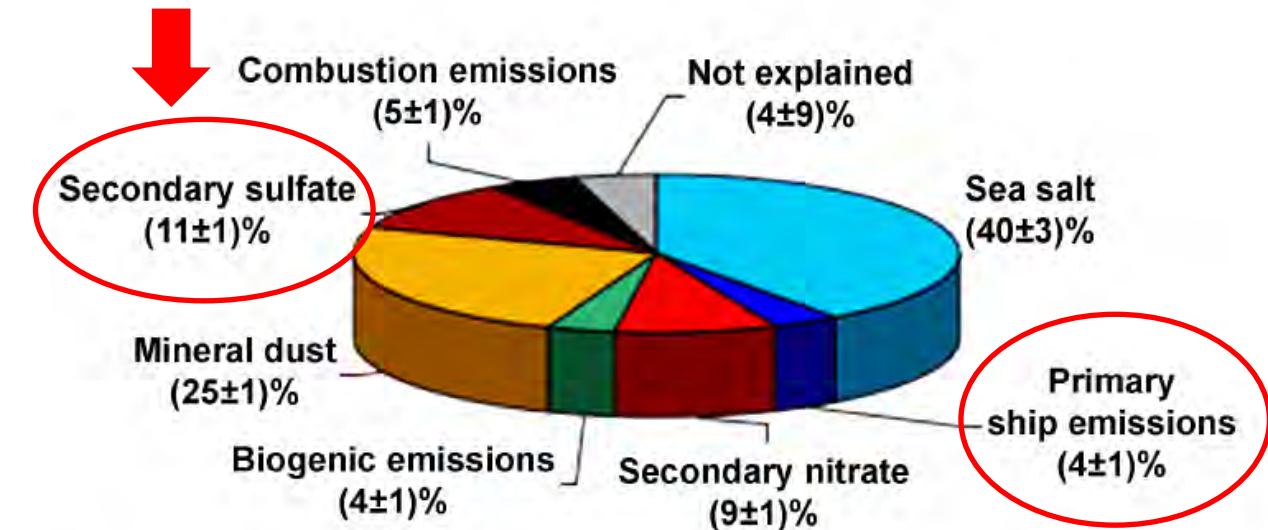
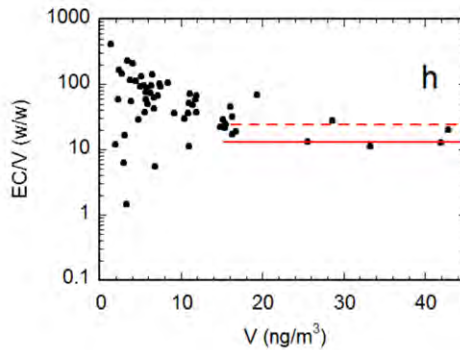
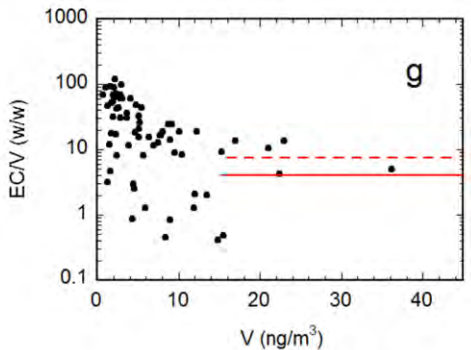
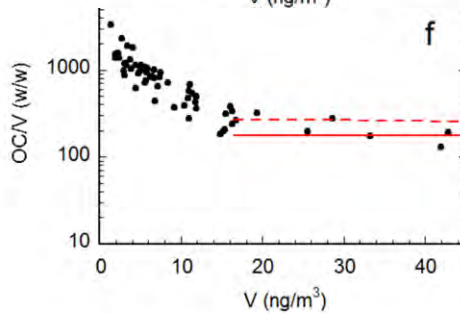
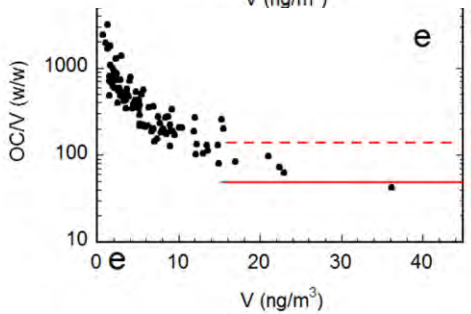
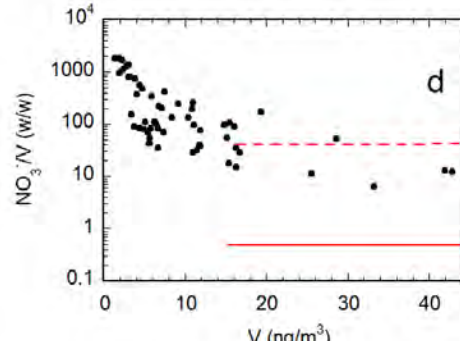
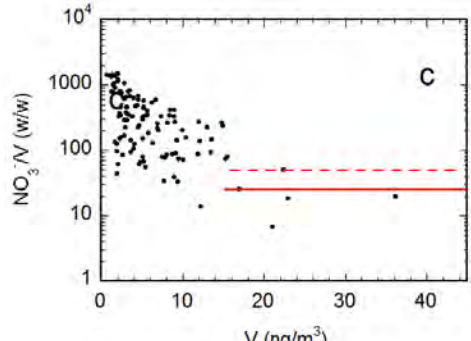
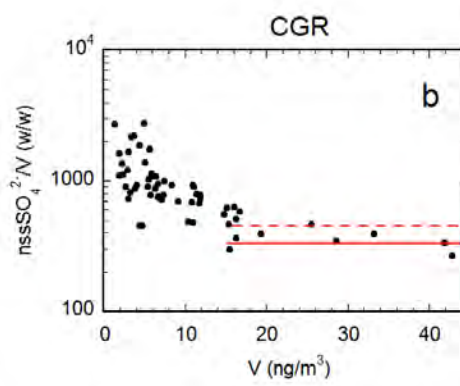
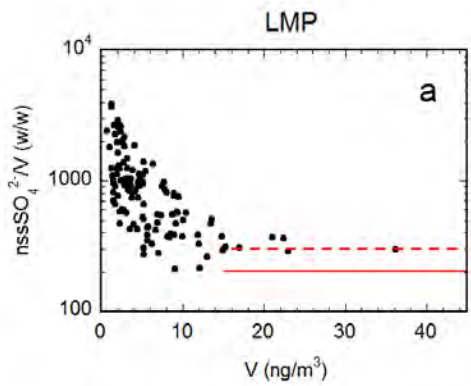


Figure 10. Relative annual contributions to the PM_{10} concentration (average over the years 2007–2008).

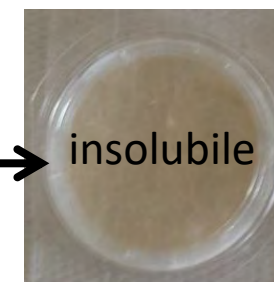
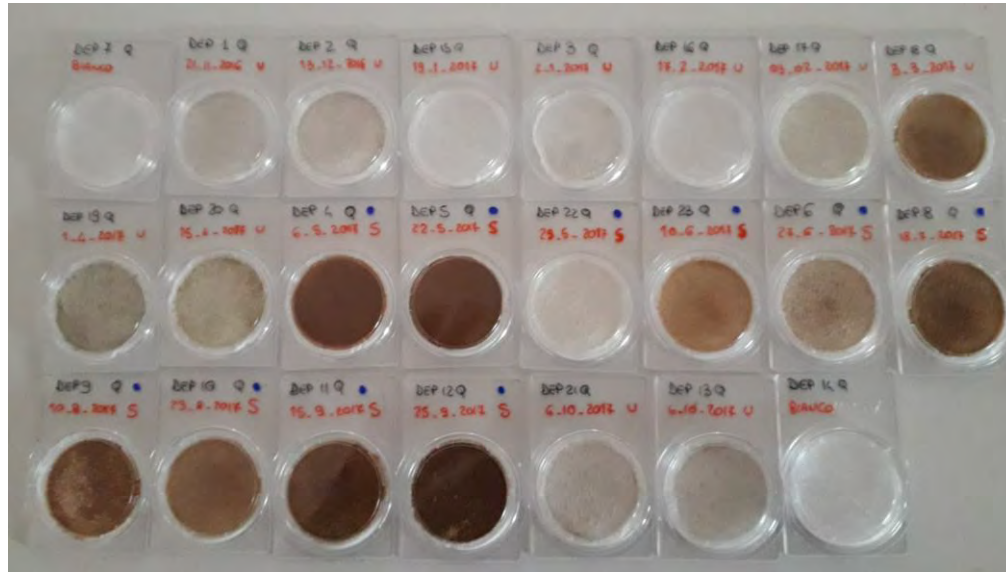
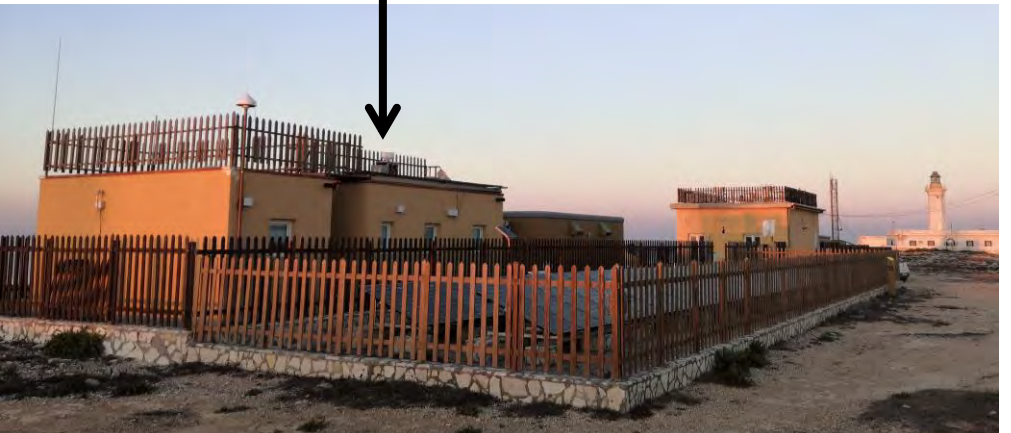


	nssSO₄²⁻ $(\text{nssSO}_4^{2-}/\text{V})_{\text{ship}}=207$		NO₃⁻ $(\text{NO}_3^-/\text{V})_{\text{ship}}=12.5$		OC $(\text{OC}/\text{V})_{\text{ship}}=43.1$		PM10 LPD OM=2.1*OC CGR OM=1.8*OC	
Mean ship contr. $\mu\text{g}/\text{m}^3$ (%)	LMP	CGR	LMP	CGR	LMP	CGR	LMP	CGR
Mean ship contr. $\mu\text{g}/\text{m}^3$ (%)	1.35 (34%)	2.1 (31%)	0.082 (4.5%)	0.13 (9.0%)	0.59 (15%)	0.78 (8.7%)	2.0 (11%)	3.0 (8.6%)
Max ship contr. $\mu\text{g}/\text{m}^3$ (%)	7.5 (69%)	8.8 (77%)	0.45 (62%)	0.53 (100%)	3.3 (99%)	3.3 (22%)	11.2 (50%)	12.7 (42%)

Deposizioni



Deposizione secca e/o umida

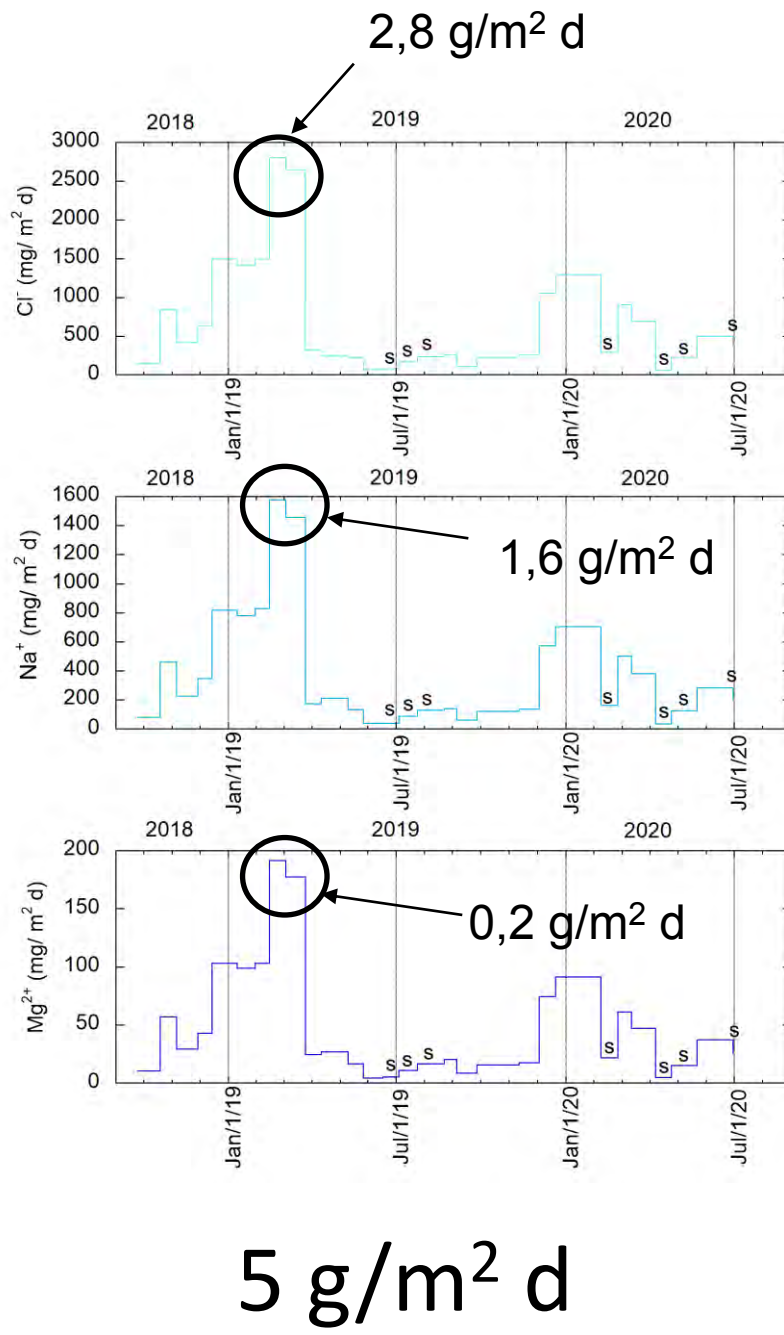


solubile

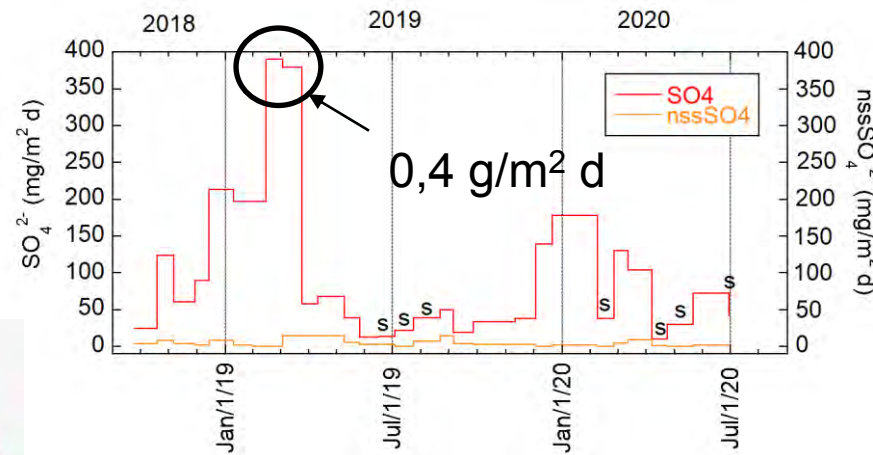
Analisi chimica



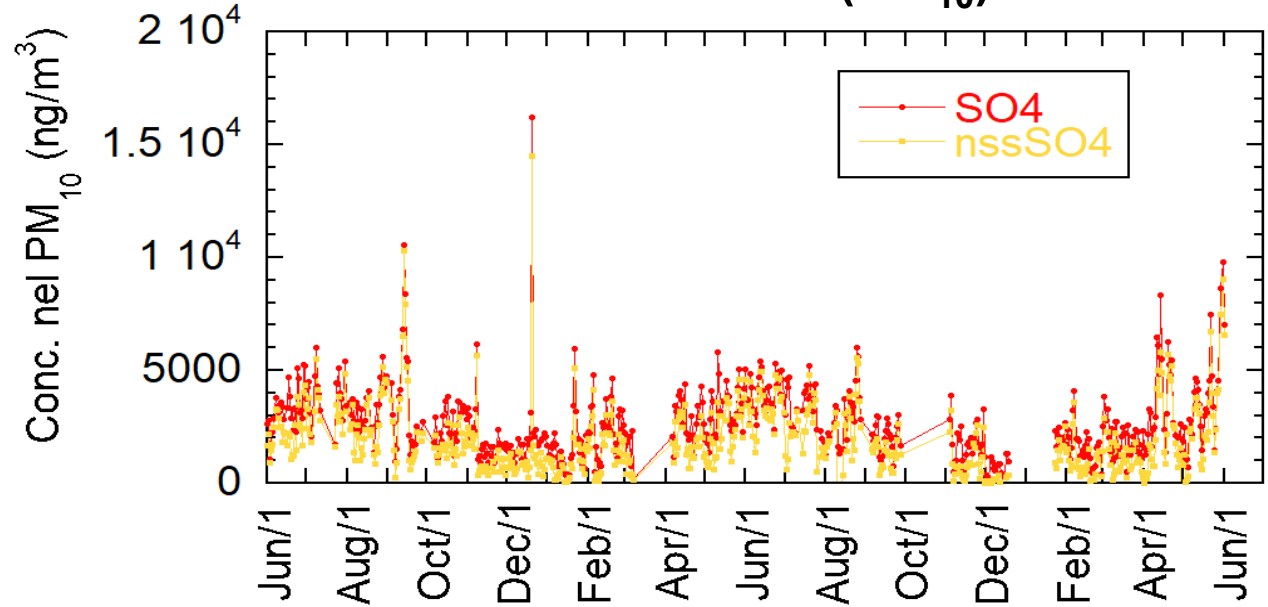
Deposizione di aerosol marino primario



Solfati deposizioni

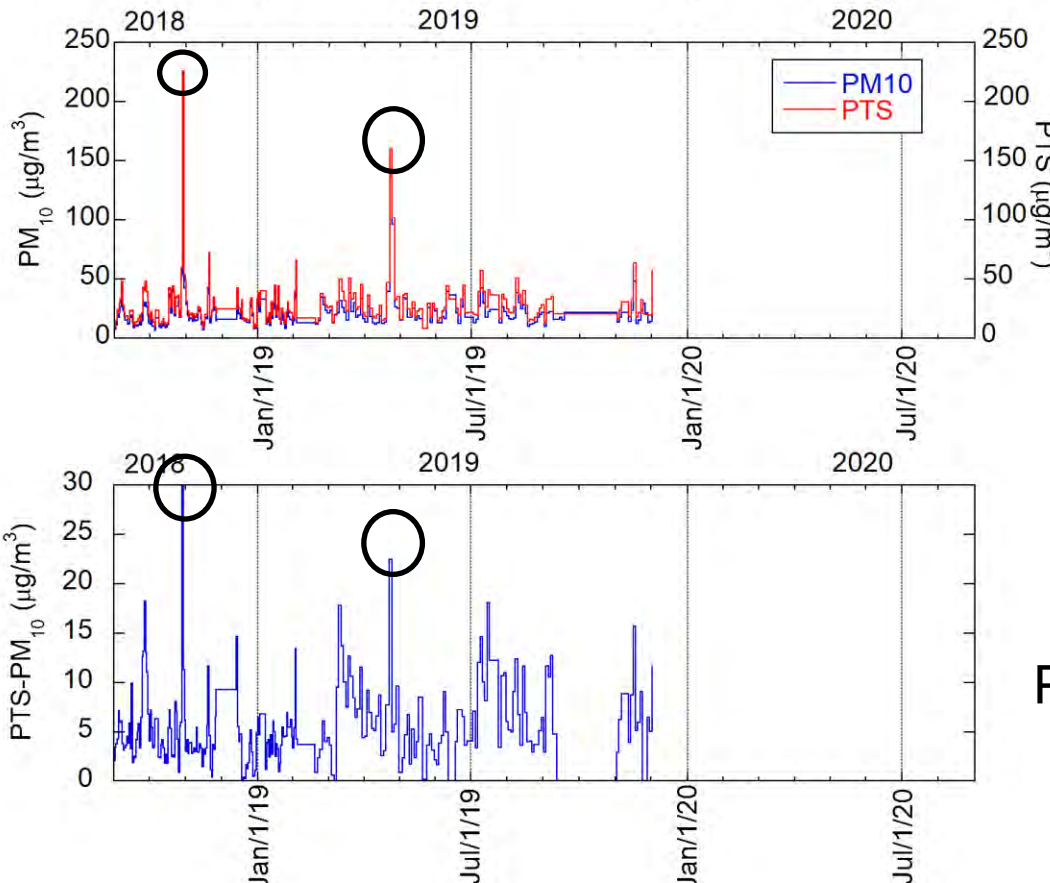
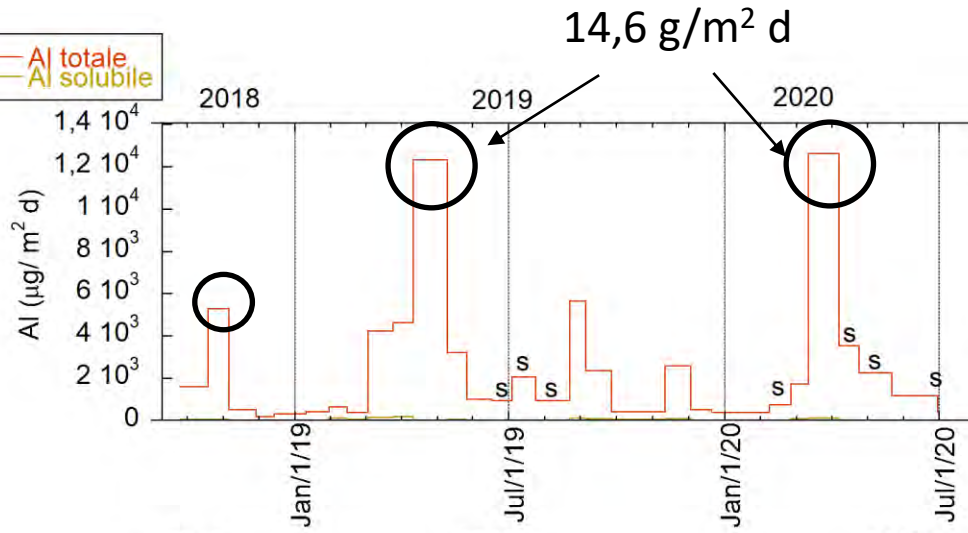


Solfati aerosol (PM₁₀)

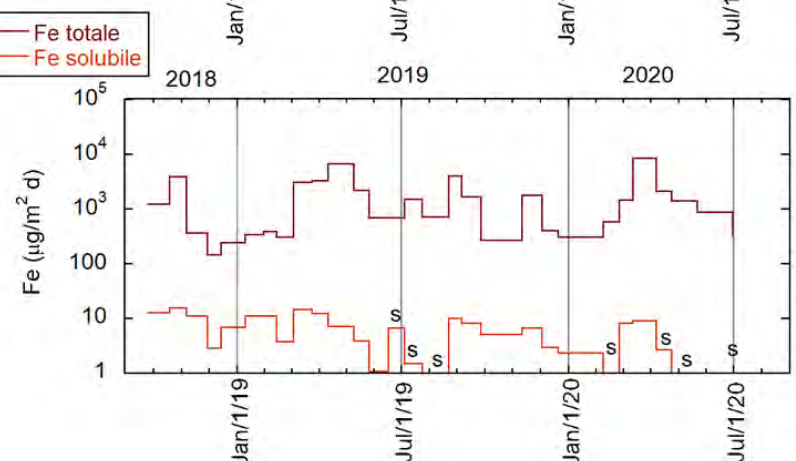
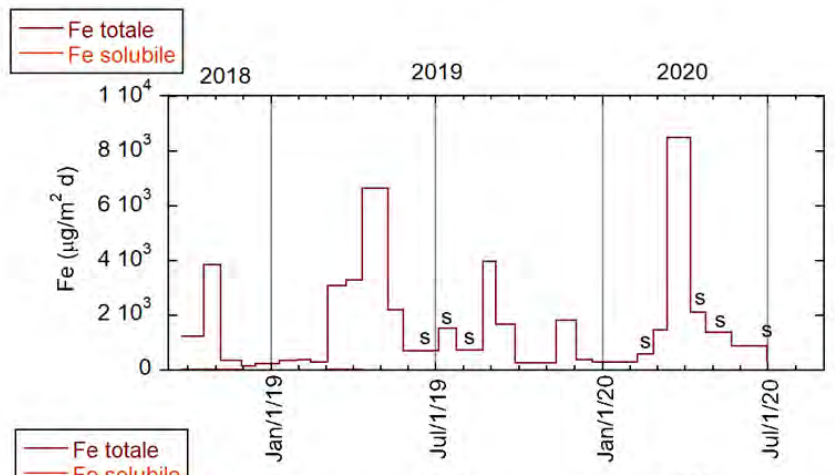


Deposizione di polveri Saharie

AI



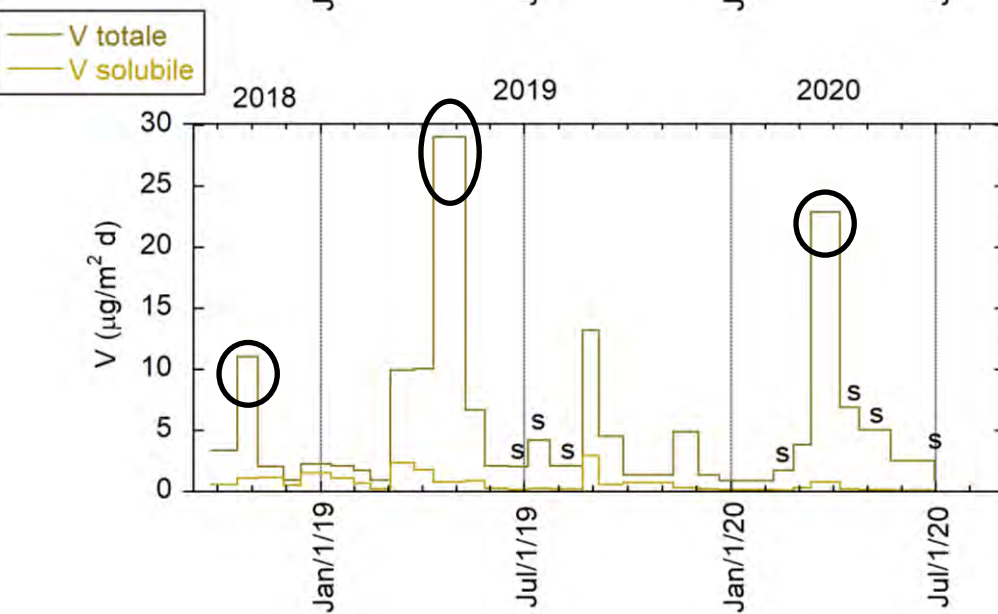
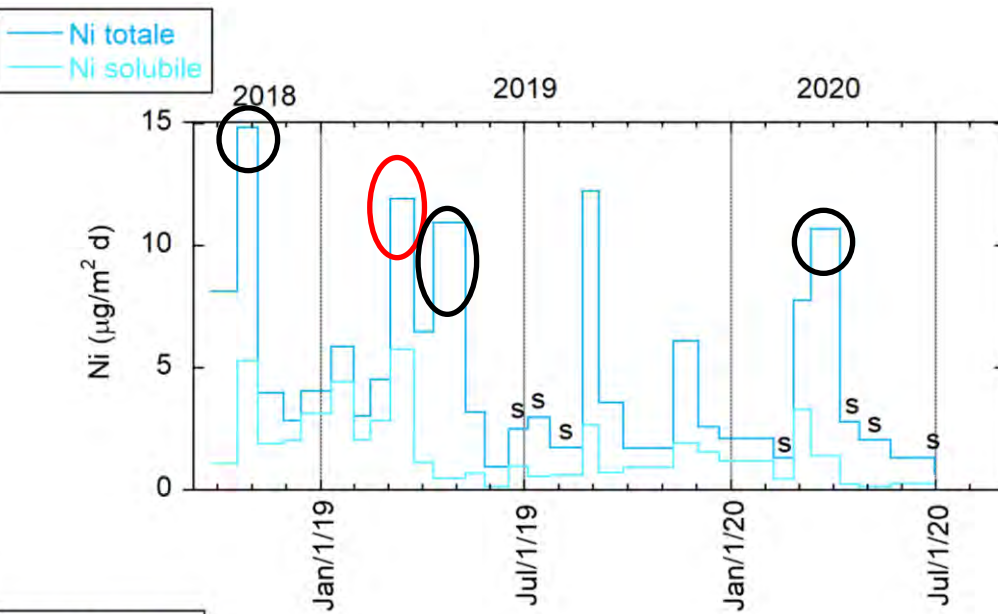
Fe



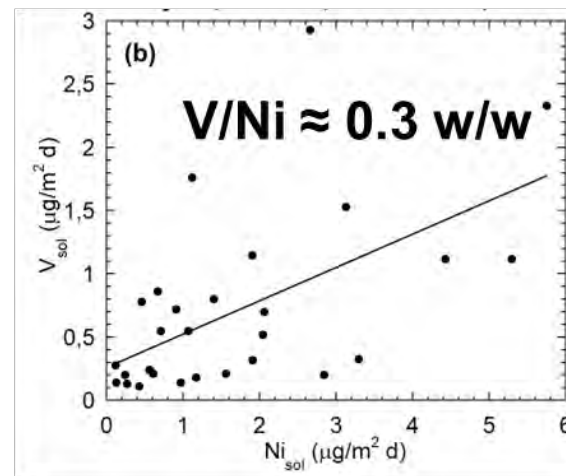
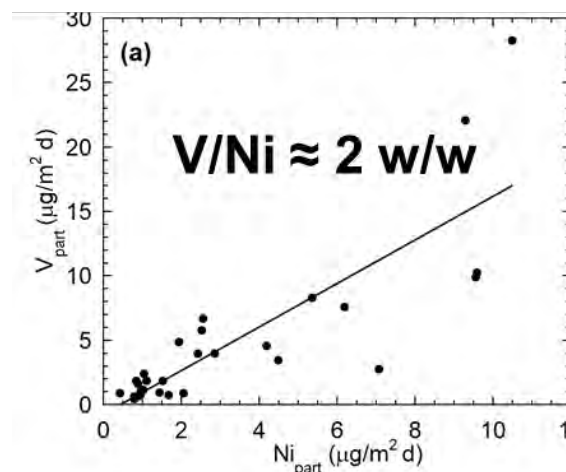
PTS-PM₁₀



Nichel e Vanadio



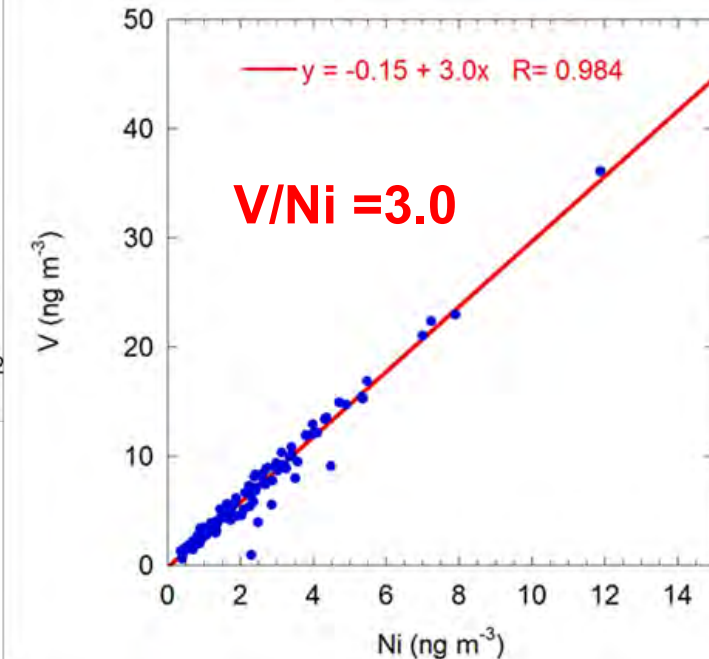
Deposizione-Particolato



Deposizione-Solubile



Aerosol PM₁₀ Lampedusa



Aerosol crostale
 $V/\text{Ni} = 2.1 \text{ w/w}$

Aerosol navale
 $V/\text{Ni} = 3-4 \text{ w/w}$

Pubblicazioni

1. Becagli S., D. M. Sferlazzo, G. Pace, A. di Sarra, C. Bommarito, G. Calzolai, C. Ghedini, F. Lucarelli, D. Meloni, F. Monteleone, M. Severi, R. Traversi, and R. Udisti. Evidence for heavy fuel oil combustion aerosols from chemical analyses at the island of Lampedusa: a possible large role of ships emissions in the Mediterranean. *Atmos. Chem. Phys.*, 12, 3479–3492, www.atmos-chem-phys.net/12/3479/2012/. doi:10.5194/acp-12-3479-2012. 2012.
2. Kishcha P., B. Starobinets, R. Bozzano, S. Pensieri, E. Canepa, S. Nickovic, A. di Sarra, R. Udisti, S. Becagli, P. Alpert. Sea-salt aerosol forecasts compared with wave height and sea-salt measurements in open sea. In: "Air Pollution Modeling and its Application XXI". NATO - Science for Peace and Security – Series C: Environmental Security. Springer Netherlands Publisher, 299–303. Print ISBN: 978-94-007-1358-1. Series ISSN 1874-6519. Doi: 10.1007/978-94-007-1359-8_51. 2012.
3. Becagli S., L. Lazzara, F. Fani, C. Marchese, R. Traversi, M. Severi, A. di Sarra, D. Sferlazzo, S. Piacentino, C. Bommarito, U. Dayan, R. Udisti. Relationship between methanesulfonate (MS) in atmospheric particulate and remotely sensed phytoplankton activity in oligomesotrophic central Mediterranean Sea. *Atmos. Environ.*, 79, 681-688, <http://dx.doi.org/10.1016/j.atmosenv.2013.07.032>. 2013.
4. Marconi M., D. M. Sferlazzo, S. Becagli*, C. Bommarito, G. Calzolai, M. Chiari, A. di Sarra, C. Ghedini, J. L. Gómez-Amo, F. Lucarelli, D. Meloni, F. Monteleone, S. Nava, G. Pace, S. Piacentino, F. Rugi, M. Severi, R. Traversi, and R. Udisti. Saharan dust aerosol over the central Mediterranean Sea: PM10 chemical composition and concentration versus optical columnar measurements. *Atmos. Chem. Phys.*, 14, 2039–2054, www.atmos-chem-phys.net/14/2039/2014/ doi:10.5194/acp-14-2039-2014. 2014.
5. Kishcha P., B. Starobinets, R. Udisti, S. Becagli, A. di Sarra, S. Nickovic, P. Alpert. Sea-salt aerosol forecasts over the Mediterranean Sea evaluated by daily measurements in Lampedusa from 2006 to 2010. In: "Air Pollution Modeling and its Application XXII". NATO - Science for Peace and Security – Series C: Environmental Security. Springer Netherlands Publisher, 321-325. Print ISBN: 978-94-007-5576-5. Series ISSN 1874-6519. Doi: 10.1007/978-94-007-5577-2_54. 2014.
6. Calzolai G., S. Nava, F. Lucarelli, M. Chiari, M. Giannoni, S. Becagli, R. Traversi, M. Marconi, D. Frosini, M. Severi, R. Udisti, A. di Sarra, G. Pace, D. Meloni, C. Bommarito, F. Monteleone, F. Anello, and D. M. Sferlazzo. Characterization of PM10 sources in the central Mediterranean. *Atmos. Chem. Phys.*, 15, 13939–13955, www.atmos-chem-phys.net/15/13939/2015/. doi:10.5194/acp-15-13939-2015. 2015.
7. Becagli, S., F. Anello, C. Bommarito, F. Cassola, G. Calzolai, T. Di Iorio, A. di Sarra, J-L Gómez-Amo, F. Lucarelli, M. Marconi, D. Meloni, F. Monteleone, S. Nava, G. Pace, M. Severi, D. M. Sferlazzo, R. Traversi, and R. Udisti. Constraining the ship contribution to the aerosol of the central Mediterranean *Atmos. Chem. Phys.*, 17, 2067–2084, 2017. www.atmos-chem-phys.net/17/2067/2017/ doi:10.5194/acp-17-2067-2017.
8. Galletti, Y., S. Becagli, A. di Sarra, M. Gonnelli, E. Pulido-Villena, D. M. Sferlazzo, R. Traversi, S. Vestri, and C. Santinelli. Atmospheric deposition of organic matter at a remote site in the Central Mediterranean Sea: implications for marine ecosystem. *Biogeosciences*, 17, 3669–3684, 2020. <https://doi.org/10.5194/bg-17-3669-2020>.

Gruppo di Lavoro



UNIVERSITÀ
DEGLI STUDI
FIRENZE
UGO SCHIFF
DIPARTIMENTO
DI CHIMICA



Agenzia nazionale per le nuove tecnologie, l'energia
e lo sviluppo economico sostenibile



*S. Becagli, M. Severi, R. Traversi,
M. Marconi, R. Udisti*

D. Sferlazzo

A. di Sarra, D. Meloni, G. Pace, T. Di Iorio

*F. Monteleone, S. Piacentino,
F. Anello, C. Bommarito*

F. Lucarelli, S. Nava, G. Calzolai, M. Chiari

Grazie per l'attenzione

